

向フ Stream の運動量ニ等シト考フルヲ得可シ、

外車推進器ニ於テ此ノ Stream の面積ハ兩舷ノ水搔  
ガ作動シテ生ズル水流面積ニ等シク、螺旋推進器ニ於  
テハ穀ヲ取去リタル螺旋ノ面積ニ等シ、

又 Stream の運動量ハ質量ニ其ノ速度ヲ乘ジタルモ  
ノナレバ、之ヲ  $M_{EV}$  トシテ現ハス、次ニ Stream の速度ハ  
殆ンド推進器ノ速度ニ等シキヲ以テ下式ヲ得可シ、

$\rho$  = 螺旋ノ節(呪)、

$n$  = 每秒螺旋ノ回轉數、

A = 船尾ニ向フ水流ノ面積、

每秒時船尾ニ向フ水ノ容積 =  $\rho \cdot n \cdot A$  立方呪、

然ルニ海水 1 立方呪ノ重量ハ 64 听ナレバ、上式ノ重  
量ハ

$$W = 64 \cdot \rho \cdot n \cdot A \text{ 听}$$

$$\text{又 } M = \frac{W}{g} \text{ ヨリ } g \text{ ハ約 } 9.8 \text{ ナレバ}$$

$$\underline{\underline{M = 2 \cdot A \cdot \rho \cdot n}}$$

今船ノ圍リノ水ノ速度ハ船ノ速度 S ニ等シキモ、推  
進器ガ回轉シテ水流ヲ起シ、其ノ速度 v トナレバ之ハ  
丁度推進器ノ速度  $\rho \times n$  ニ等シク、實際推進器ノ回轉ノ  
爲メニ水ニ與ヘラレタル速度 V ハット S トノ差ニ等  
シカルベシ、即チ、

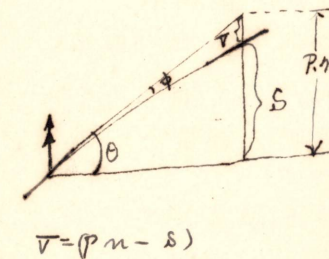
$$V = v - S = \rho \cdot n - S.$$

故ニ毎秒ニ推進器ノ爲メニ水流ノナス運動量ハ

有効推力 = Stream の運動量  
Effective thrust Moment of the stream

$$= MV$$

$$= 2 \cdot A \cdot \rho \cdot n \cdot (\rho \cdot n - S) \text{ 听},$$



$$V = \rho n - S$$

トシテ算定シ得可ク、上式ハ A ヲ精確ニ知ル能ハザルヲ以テ單ニ概算ニ止マルト雖モ、實用ニ供セラル又之ニ依ツテ考フルニ螺旋ト船ガ水中ニテ同一速力ヲ有スル場合ニハ(即チ  $P \cdot n = S$  ナレバ  $V = 0$ ) 螺旋ハ推力ヲ生ゼズシテ單ニ水中ヲ回轉スルニ止マルナリ、故ニ推力ヲ生ズベキ螺旋ノ「エネルギー」ハ螺旋ノ速力ト船ノ速力トノ差ニ關係スルコトヲ知ルベシ。

現今ノ船用機關ニ於テハ實馬力ハ僅カニ其ノ約  $\frac{1}{2}$  ヲ有効推力ニ使用スルニ過ギズ、

## ○ 九、螺旋ノ沈水度ト直徑ノ關係、

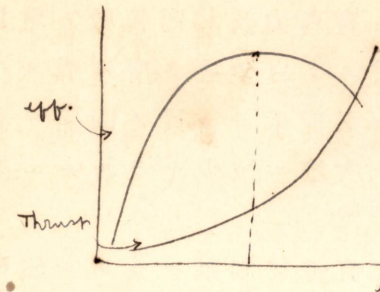
螺旋ノ推力ハ前項ニ於テ  $M, V$  ナルコトヲ説明セリ、今此ノ水量ニ此ノ運動ヲ起サシムル爲メニ費ス「エネルギー」ヲ  $E$  トスレバ

$$E = \frac{1}{2} MV^2$$

又ハ  $E = \frac{1}{2} \frac{64 \cdot A \cdot p \cdot n}{g} (v - S)^2 = A \cdot p \cdot n \cdot (v - S)^2$

$$\therefore \text{推力 (T)} = \frac{2E}{V}$$

之ニヨリ翼面ノ摩擦ヲ無視シテ考フレバ一定ノ機械力ヲ利用シテ成ル可ク多量ノ推進力ヲ得ント欲セバ少量ノ水ニ高度ノ速度ヲ與フルヨリモ、大量ノ水ニ低度ノ速度ヲ與フル方遙ニ經濟ナルヲ知ルベシ、換言スレバ直徑小ナル推進器ニ長キ節ヲ與フルヨリモ直徑大ナル推進器ヲ用ヒ、之ニ短キ節ヲ與フル方其ノ効率



$n$ 大	$n$ 大
$p$ 大	$p$ +
$D$ 小	$D$ 大
利	益

$$\text{有効推力} = 2A \cdot p \cdot n \cdot (P \cdot n - S)$$

$$2E = 2A \cdot p \cdot n \cdot (v - s)^2$$

$$\therefore \text{推力} = \frac{2E}{V}$$

高キヲ見ルナリ、然レドモ實馬力及ビ回轉數ノ増加ト共ニ翼面ノ摩擦抵抗モ増スヲ以テ之ヲ度外視スルコト能ハズ、故ニ此ノ抵抗ハ又能率ト密接ノ關係ヲ有シ爲メニ近來螺旋ノ直徑ハ次第ニ減少セラルルニ至リ、

次ニ掲タル者ハ螺旋ノ直徑ガ制限セラルル條件ナリ、

第一、船ノ吃水及ビ水面ヨリ翼ノ尖端迄ノ距離、

第二、船體ト翼トノ間隙、

第三、螺旋翼ノ最低點ハ龍骨ノ上方ニ在ルベキコト、

實驗ニ依ルモ螺旋ハ水面下ニ充分沈下スルヲ要シ又尖端ヨリ水面迄ノ距離ハ其ノ大小ニ依リ直徑ノ $\frac{1}{6}$ 乃至 $\frac{1}{10}$ ヨリ少~~事~~ニ<sup>事</sup>カルベカラズ、單螺旋ノ場合ニ於テ良好ナル割合ハ、節ガ直徑ノ1倍乃至1.5倍、盤面積ハ中央横斷浸水部面積ノ $\frac{1}{2}$ 乃至 $\frac{1}{4}$ ニアリ、

尙ホ近來ニ至リ一般ニ船尾ヲ細クシテ螺旋ニ來ル水ヲ自由ニシ、且ツ多量ニスルノ方法ハ効率増進ノ目的ニ向ツテ最モ必要ナル條件トナレリ、

## 一〇、推進器ノ空轉、 Racing

荒天ニ際シ船體ノ動搖又ハ吃水ノ減少等ノ爲メニ推進器ノ翼端水上ニ露出スル時ハ、水中ニ空氣ノ多量ヲ混入セシム、而シテ空氣ハ壓縮シ易キモノナル故、推

$$T = c \rho v^2 C_T - dF \sin \theta.$$

$$Q = c \rho v^2 C_Q + dF \cos \theta.$$

$$Q \approx \frac{P}{\partial \pi} T.$$

進器翼ニテ推サレテ自ラ壓縮シ翼ガ其ノ位置ヲ去ル時ハ、空氣ハ直チニ元ノ體積ニ膨脹シテ水ヲ推進器ノ方ニ推シ歸シ、爲メニ同一ノ水ガ度々翼面ニ當リ其ノ結果、水ハ單ニ推進器ト共ニ回轉スル事ニナリテ推進器ノ抵抗ヲ減ジ、與ヘラレタル馬力ニ對シテ回轉數ヲ増加スルニ至ル、之ヲ空轉ト云フ、  
Racing

### ○ 一一、推進器ノ Cavitation.

推進器ノ推力ハ既ニ述ベタル如ク、次ノ二項ニヨリ消長ス、

(1) 推進器ノ働く水量(M).

(2) 推進器ニ依リ後方ニ推サルル水ノ增加速度(V).

第一ノ場合ノ水量ハ、(1) 船ノ働くキニヨリ自然ニ流入スルモノト、(2) 推進器自身ノ働くキニヨリ吸入スルモノトニヨリ供給サルルモノニシテ、通常後者ハ前者ニ比シテ少量ナリ、然レドモ船ノ速度遞減スル時ハ後者ノ方大量トナリ、失脚率 100 % ナルトキハ、水ノ供給ハ推進器ノ働くキノミニテナス事トナルベシ、

又推進器ニヨリテ後方ニ推シ遣ラルル水ト速力ハ推進器ノ與フル力ニヨリテ變化スルモノニシテ、水ニ大ナル速度ヲ與フルニ從ツテ推進器ニ水ノ供給ヲ活潑ニス、是レ故ニ推進器ノ動力ハ之ニ新ラシク供給スル水量ニヨリテ定マルモノト云ヒ得可シ、例令バ吸上唧筒ノ場合ニ於テ速度遅キ時ハ満足ニ働くモ、速度大トナリ或ル程度ニ達スル時ハ水ノ唧筒ニ流レ入ル速

推進器ヲ船体へ取り付ケル時ノ作図。

1. racing
2. cavitation.

$$\text{推力}(T) = \frac{2\pi}{D} \cdot$$

$$T = \frac{1}{2} M V^2$$

$$\text{推力} = M V$$

$$\text{slip} = \frac{P_m - S}{P_n}$$

度ハ唧子ノ動ク速度ニ及バズシテ唧子ト、之ヲ追フ水トノ間ニ空氣隙ヲ生ズベシ、推進器ニ於テモ之ト同様ニ水ヲ後方ニ推シ遣ル速力甚大トナリテ、之ニ供給スル水ノ速度ガ及バザルトキハ、其ノ間ニ水ノ斷絶ヲ生ズ、之ヲ推進器ノ Cavitation ト稱ス。

扱テ右ノ推進器ニヨリ與ヘラレタル水ノ增加速度  $V$  ハ、水ガ推進器ニ達スル前方或ル距離ヨリ既ニ其ノ作用ヲ受ケ、又其ノ後方或ル距離迄達スルヲ以テ推進器ノ丁度前方ニ於テハ、 $V^*$  (此ノ値ハ零カラ  $V$  迄僅カノ間ニ達スルヲ以テ平均約  $\frac{V}{2}$  ト想定シ得可シ) ナル增加速度ヲ得可キモノト考フベク、又此ノ速度ハ推進器ガ回轉ニヨリ翼ノ前方ニ壓力ヲ減ジタル爲メ水ノ壓力ノ差ニヨリテ起ルモノニシテ、此ノ壓力ノ減少ヲ水ノ落差  $h$  Head ニテ示セバ水力學上ヨリ一般ニ  $v = \sqrt{2gh}$  ナル式ヲ得可シ。

今若シ翼ノ回轉ニヨリ其ノ前方壓力零ニナリシト假定セバ、此ノ場合ニ得可キ速度  $v$  ハ次ノ式ヲ以テ表ハスコトヲ得可シ、

$$v = \sqrt{2g(h_1 + h_2)} \text{ or } \sqrt{2g(33 + h_2)}$$

$h_1$  ..... 大氣壓力ニ相當スル落差(呎)ニシテ大

氣壓ヲ 14.7 吋/平方吋 トセバ 33 呎(約)

$h_2$  ..... 水面ヨリ水分子迄ノ距離、(呎)

故ニ  $V^*$  ガ此ノ式ノ右項ヨリ大ナルトキ、即チ

$$V^* > \sqrt{2g(h_1 + h_2)}$$

ナル時ニ水ハ連續スル事能ハズシテ Cavitation ヲ生ズ

## 四) 事象 + 1 不列

### 1. cavitation

2. 水 churning action + 増大

3. 翼面, 摩擦抵抗 + 增加

$$\frac{P_A}{w} + \frac{V_A^2}{2g} + h_1 = C.$$

$$\frac{P_B}{w} + \frac{V_B^2}{2g} + h_2 = C.$$

$$\frac{P_A}{w} + \frac{V_A^2}{2g} + h_1 = \frac{P_B}{w} + \frac{V_B^2}{2g} + h_2$$

$$\frac{P_B}{w} = 0, \quad V_A = 0, \quad \frac{P_A}{w} = h_1.$$

$$h_1 + 0 + h_2 = 0 + \frac{V_B^2}{2g}$$

$$\therefore V_B = \sqrt{2g(h_1 + h_2)}.$$

$$\text{Water surface} = \frac{1}{4} x / 2 \times 1/2 = \frac{1}{144} x^2 \text{ ft}^2$$

$$= 144 \text{ ft} x / \text{sq. in.}$$

$$64 : 144 :: 14.7 : x$$

$$x = \frac{144 \times 14.7}{64} = 33 \text{ ft.}$$

ルモノナリ、

若シ翼端水面ニ露出スル時ハ $33\sqrt{2gh}$ 呎ナル水落差ヲ失フヲ以テ、此ノ場合ニハ單ニ $\sqrt{2gh}$ トナル、

實際ニ於テハ水中ニ包有スル空氣ノ分離及ビ壓力ノ降下スル爲メニ水蒸氣ノ發生等ノ爲メ右ノ計算ノ速度ニ達スル前ニ Cavitation <sup>Vapour</sup>ヲ起スモノナリ、扱テ此ノ Cavitation ノ起リ始ムル時ハ、正シク知ルコト困難ナリト雖モ、前述ノ如ク翼ガ水ニ増加速度ヲ與フルコトヨリ起サ、又此ノ速度ハ推力ヲ起ス基タルモノナレバ Cavitation ハ推力ノアル程度ニ達スル時ハ起ルモノト云ヒ得可シ、近時推進機關トシテ「タルピン」式機械ヲ採用セシ以來推進器ノ回轉數著シク増加シ益々此ノ現象ニ就テ注意ヲ惹クニ至レリ、S. W. Barnaby 及ビ C. Parsons 兩氏ノ實驗ニ依レバ推進器ノ頂端水面下12吋ニ位置スル時、<sup>Projected area</sup>投影面積ノ1平方吋ニ $11\frac{1}{2}$ 吋ノ推力ヲ極限トシ、是レ以上ノ推力ヲ出ス時ハ Cavitation ヲ起ス、而シテ深サ増スニ從ツテ此ノ極限増加シ、深サ各1呎ヲ増ス毎ニ此ノ推力 $\frac{3}{4}$ 吋ヲ増スト云フ、次ニ掲グルモノハ Cavitation ヲ防グ方法ナリ、

**第一** 翼ノ投射面ヲ充分ノ大サトナス、

**第二** 翼ノ尖端ハ水面下適當ノ位置ニ沈下ス、

**第三** 翼ノ厚サヲ減ジ表面ヲ磨キテ摩擦ヲ減ズルコト、

**第四** 推進器ヘノ水流ヲ良好ニスル爲メ船尾ヲ細長クスルコト、

例題、今投射面積 21 平方呎三推進器ノ「タルビン」船  
アリ其ノ速力 20 節、軸馬力 10,500、毎分回轉數 450  
ナリ、推進係數 0.6 推力減失係數 0.1 トセバ翼ノ投  
射面積每平方吋ノ推力如何、

〔解〕推進器ニ對スル

$$\text{E.H.P.} = 10,500 \times 0.6 \div 3 = 2,100.$$

$$\text{推力} = \frac{33000 \times 2100}{101.3 \times 20 \times 0.9} = 38,000 \text{ 吤},$$

$$\text{每平方吋ノ推力} = \frac{38,000}{21 \times 144} = 12.6 \text{ 同},$$

## 一二、螺旋推進器ノ回轉ニヨリ生ズル震動、

其ノ原因ハ種々アルベシト雖モ、推進器ガ一回轉スル時不同ナル抵抗ニ出會スルヲ主ナルモノトシ、Stern post 或ハ船體ニ餘リ接近スル時モ亦之ヲ生ズ、

實驗ニ依ルモ同一面積ノ二枚翼ヨリハ四枚翼推進器ヲ以テセバ震動ヲ減ジ、幅廣キ Stern post ヲ有スルモノ若クハ翼尖廣キ者ハ之ヲ増加ス、尙ホ荒天ニ際シ船ノ吃水ニ變化ヲ起ス時及ビ各部ノ釣合平均シ居ラザル時ハ震動ヲ起シ高速力ノ場合ニハ殊ニ甚シトス、

## 一三、雙螺旋、多數螺旋、

艦艇ノ推進器ハ小形ノ水雷艇若クハ舊式艦ノ外ハ悉ク雙螺旋若クハ三螺旋ヲ備ヘ「タルビン」式機械ヲ裝備セルモノニアリテハ尙ホ多クノ推進器ヲ採用セリ、

$$\begin{aligned} R &= T(1-\tau), \\ T &= \sqrt{a + s^2/4} \\ TR &= T(1-\tau)T \\ 2100 &= \frac{\cancel{T}}{101.3 \times 20 \times 0.9} \cancel{T} \\ \therefore T &= \frac{33000 \times 2100}{101.3 \times 20 \times 0.9} = 38,000 \text{ 同} \end{aligned}$$

二軸以上ニ力量ヲ分配セル推進器ノ利トスル所ハ、次ノ如シ、

- 第一、推進器 Race ノ增大、水流ノ潤澤ニ依リ抵抗ノ輕減ハ効率ヲ増シ從テ同一速力ニテ所要馬力ヲ減少セシム、
- 第二、機械ニ故障ヲ生ズルモ全ク其ノ進退ノ自由ヲ失フ場合少ナシ、
- 第三、艦ノ操縦容易トナリ必要ニ際セバ推進器ノミニテ舵ノ代用ヲナサシムルコトヲ得、
- 第四、機械室内ヲ分割スルコトヲ得、

雙螺旋ニ於テハ各同一力量ヲ發生スルノ裝置ナレドモ、三螺旋ニ於テハ同一ノ者ト中央ノミ兩側ニ比シテ大小ノ差ヲ附シタルモノトアリ、三螺旋ハ雙螺旋ニ比シテ容易ニ强大ナル力量ヲ發生セシムルコトヲ得ベク尙ホ所要ニ應ジテ左右ノ二個若クハ中央ノ一個ヲ使用シテ力量ノ加減ヲ得シメ「摩擦ヨリ生ズル損失ヲ輕減スル等ノ利アレドモ、減速汽走ノ際使用セザル推進器ヲ曳ク爲メニ生ズル損失モ又少カラズ、歐米ノ諸國ハ英國ヲ除クノ外吸餽式機械ヲ備フル軍艦ニ三個以上ノ螺旋ヲ採用セシモノアリシモ、帝國海軍ニ於テハ露國ヨリ收容セル周防、津輕ノ諸艦及ビ樺級驅逐艦ニ三螺旋ヲ有スルノミ、近來軍艦ニ「タルビン」式機械ヲ採用セシヨリ其ノ性質上止ムヲ得ズ、三個乃至四個ノ推進器ヲ使用スルニ至レリ、

#### 一四、螺旋推進器ノ回轉方向、

Direction of Rotation of Screw Propeller

機械ノ前進回轉ヲナス時船ノ後方ヨリ見テ右回轉  
ヲナス螺旋ヲ右廻リ推進器ト言ヒ、其ノ反對ノモノヲ  
左廻リ推進器ト言フ、  
Left handed propeller

單螺旋ニ於テハ前進ノ際右回轉ヲ普通トシ雙螺旋  
ハ明治30年頃ヨリ數年間内方回轉ノ採用最モ多カリ  
(1896-1901)  
シガ現今ニ至リ又外方回轉ノ採用ヲ見ルニ至レリ、螺旋外方ニ回轉セバ浮流物ヲ舷側ニ捲込ミ翼ノ損傷ヲ  
來ス等ノ場合少ナシ、然ルニ内方回轉ノ者ニアリテハ  
兩舷機ノ中間ニ發停坐ヲ設ケ比較的兩軸ヲ接近セシ  
メ、各部ノ狀態ヲ中間ヨリ監視シ得ルノ利益アレドモ  
戰鬪中若クハ近來ノ各機械室ヲ全ク獨立タラシムル  
構造ノ者ニアリテハ其ノ必要ヲ認メズ、要スルニ兩者  
間著シキ優劣ヲ認メザルモ、次項記載スル操舵トノ關係  
ガ兩者全ク相反スルハ、吾人ノ運轉上特ニ留意スペ  
キ點ナリトス。

次表ハ帝國海軍ニ於ケル一等巡洋及ビ海防艦以上  
ノ例ニシテ、二等巡洋艦以下ハ殆ンド全部外方回轉ナリ、

外方回轉	内方回轉
鹿島	桑津
香取	觀音
三敷	馬摩
富士	日見
出雲	進日
磐	間瀬
八幡	常

## 一五、螺旋推進器ノ回轉方向ト操舵ノ關係、

(一) 航行中轉舵ニヨリテ生ズル作用、

船進行中舵ヲ轉ズル時ハ舵側ヲ流ル Stream line ハ  
舵面ニ撞擊シテ之ヲ壓シ次ノ作用ヲナス、

(イ) 其ノ針路ヲ變ズ、

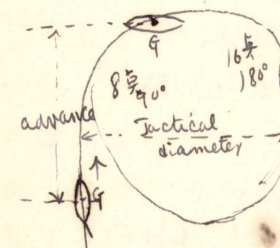
(ロ) 船體ヲ傾斜ス、

(ハ) 側壓ヲ生ズ、  
Side drift

(二) 船ノ速力ヲ減ジ機械回轉數ヲ變ズ、

(イ) 第15圖ニ於テ Pヲ總壓力トシテ之ガ舵面ノ壓力  
中心 Cニ働くモノトス、Gヲ船ノ重心點トシ、Gニ於  
Centre pressure  
テ Pニ平行シテ相等シキ二力 EG, HG ガ互ニ反對ニ働く  
キ居ルモノト想定スルトキハ DC, HG ノ二力ハ  $P \times DG$   
ナル偶力トナリ船ヲ旋廻セントス、斯クノ如ク艦船ハ  
轉舵スレバ旋廻ヲ始ムルモノニシテ船ノ中央線ガ 8  
點ダケ旋廻スルニ至レバ其ノ航跡ハ始シド圓周ニ近  
キモノトナル、而シテ轉舵セラレシヨリ船ノ軸ガ 90 度  
旋廻スルニ至リシ迄ニ進行シタル距離ヲ Advance ト言  
ヒ、180 度旋廻スルニ至ル迄ニ進ミシ距離ヲ Tactical dia-  
meter ト云フ、又 EG ハ之ヲ分解スレバ EF, FG トナリ  $EF$   
(=  $P \sin \theta$ ) ハ船ヲ後進セシムル力トナリテ前進力ヲ減  
殺シ  $FG$  (=  $P \cos \theta$ ) ハ船ヲ側方ニ移動セシムル力トナリ、  
操舵反対舷ニ船體ヲ轉移セシム、

(ロ) 轉舵ノ初期ニ於テ舵面ニ對スル壓力ハ船體ヲ  
内方ニ傾斜セシメントスルノ傾向ヲ生ズ、此ノ作用ハ



驅逐艦水雷艇ノ如キ船體ノ割合ニ舵面ノ大ナルモノニ在リテハ殊ニ甚シキモノナリ、然レドモ普通ノ船ニアリテハ此ノ作用ハ暫時ニシテ停止スルニ至ルベシ何トナレバ艦旋轉ヲ始ムルヤ遠心力ヲ生ジ轉舵ニヨリテ生ズル側壓ト相俟ツテ船體ヲ旋廻圈ノ外方ニ轉移セシメントスルト同時ニ他舷側ニ於テ之ニ對スル壓力ヲ生ジ船體ノ轉移ニ抗ス、而シテ此ノ外壓力ノ中心ハ船體ノ重心點ノ下ニ位スルヲ普通トスルヲ以テ第16圖ノ如キ偶力<sup>Couple</sup>ヲ生ジ内方傾斜作用ニ打勝チ船體ヲ外方ニ傾斜セシムルニ至ルモノトス、而シテ船體傾斜シ初ムルヤ復原力ノ働く起リテ之ニ抗シ兩方相均衡スルニ至ル迄傾斜スルモノナリ、

故ニ傾斜角度ハ下ノ如ク表ハシ得ベシ、

$$\frac{WV^2}{gR} \times d = W \times GM \times \sin\theta \quad \text{ナルヲ以テ}$$

$$\therefore \sin\theta = \frac{I}{g} \times \left( \frac{6080}{60 \times 60} \right)^2 \times \frac{d}{GM} \times \frac{V^2}{R}$$

$$= \frac{I}{11} \left( \frac{d}{GM} \times \frac{V^2}{R} \right)$$

此ノ式ニ於テ

$d$ .....重心點ト外壓力中心トノ距離(呎)

$V$ .....回轉中ノ船ノ速力(節)

(即チ元速力ノ約60%)

$R$ .....旋廻圈ノ半徑(呎)

$GM$ .....Metacentric hight. (呎)

驅逐艦水雷艇ノ如キ重心點ト外壓力ノ中心トノ距

離大ナラザルモノニ在リテハ遠心力ニヨリテ生ズル外方傾斜作用ハ舵ノ壓力ニヨル内方傾斜作用ヲ制スルニ足ラズシテ、内方ニ傾斜スルハ常ニ見ル所ニシテ高速力其ノ他波浪激潮ノ場合ニ際シ急ニ舵ヲ復歸スル時ハ、舵ノ壓力ニ基ヅク内方傾斜作用急減スルヲ以テ外方ニ輾轉シ危険ノ状態ニ陥ラシムルコトアリ、斯クノ如キ艦艇ニテ Metacentric height ヲ比較的大ナラシムル理由亦茲ニ存ス。

(ハ) 船旋回圈上ヲ旋回スル時ハ、其ノ中央線ハ該圈ノ切線ノ方向ニアラズシテ内方ニ向フモノニシテ之カ爲メニ推進器ノ推力ハ船ノ運動ノ方向ト斜角ヲナスペシ、此ノ結果ハ舵面ニ對スル抵抗ト相俟ツテ旋回中船ノ速力ヲ減ズルノ基ヲナスモノニシテ、通常旋回中ノ速力ハ元速力ノ約60%ナリトス。

今第17圖ニ於テ  $G_1$  ヲ重心點  $G_1, G, G_2$  ヲ其ノ航跡 O ヲ航跡ノ圓心トシ、GT ヲ G ニ於ケル航跡ノ切線トスレバ、此ノ角 PGT ヲ G 點ニ於ケル航差角ト稱ス。  
Drift angle

又圓心 O ヨリ船體中央線 AF へ垂線 OP ヲ引ケバ P 點ニ於ケル航差角ハ零ナルベシ、而シテ船旋回中其ノ各點ノ運動力ハ各瞬間に於テ各點ガ旋轉スル圓周ニ切線ノ方向ニ働くモノナリ、今より點ニ就キテ之ヲ見ルニ、其ノ運動ノ方向ハ  $ob$  ニ直角ナル  $bc$  ナルベク、之ヲ中央線ノ方向ト、之ニ直角ノ方向トノ力ニ分解スル時ハ  $bd, ba$  ハ即チ此ノ二力ヲ表ハスモノナルベシ、而シテ P 點ニ於テハ、此ノ切線ハ船ノ中央線ト一致ス、依是觀

之 P 點ヨリ後方ノ諸點ハ P ニ對シテ左舷ニ P ヨリ前方ノ諸點ハ右舷ニ旋廻シ、Pハ恰モ船體旋轉ノ中心タルガ如ク覺ユベシ、此ノ P 點ヲ轉心ト云フ、艦上ヨリ觀測スルニ際シ艦ノ旋轉スル中心點即チ是レナリ、  
Pivoting point

轉心ノ位置ハ船ノ速力及ビ旋轉力大ナルトキハ船首ニ接近シ、時トシテハ船脊骨ノ延線上ニ於テ船首ノ前方ニ位スルコトアリト雖モ、通例船首ヨリ船全長ノ  $\frac{1}{3}$  後方ニ在ルモノナリ、

(二) 旋轉中速力損失ノ度ハ船ノ構造舵面ノ大小舵角ノ大小ニヨリテ甚シク差異アルモノニシテ、一定ノ率ヲ以テ之ヲ表ハスコト能ハズ、要スルニ速力ハ船首方向16點變ズル迄ハ次第ニ減少シ、是ヨリ略一定スル者ナリ、今實驗ニ基ク一例ヲ表示セバ次ノ如シ、

艦種	元速力	舵面積 (平方呎)	舵角	旋轉中速力ノ損失(Knot.)			
				4點	8點	12點	16點
戰艦	13'5	215	34°	0'9	1'6	2'3	2'9
一等巡洋艦	17'	201	34 $\frac{1}{2}$ °	2'0	3'5	4'5	5'2
二等巡洋艦	17'5	110	30°	1'9	3'0	4'1	4'9

又操舵中ハ機械ノ回轉數ヲ變ズルモノニシテ、吾人ハ操舵中ノ諸作用中最モ注意ヲ要スペキモノナリ、

單螺旋ノ船ニテハ右廻リノ推進器ナレバ常ニ船ヲ右ニ向カシメ、左廻リナレバ左ニ向カシムル僻アリ、

雙螺旋ノ船ニ於テ舵ヲ取ル時ハ、機械ノ回轉數ヲ左

*figures*  
右異ニスルト同時ニ其ノ速力ヲ減ズ、然シテ左右舷機械回轉數ノ減少ハ内方回轉機械ト外方回轉機械トニヨリテ異ニス。

### 一、内方回轉機械、

- (イ) 取舵ノ場合、左舷機械ハ一時其ノ回轉數ヲ増加シ、次デ僅カニ減少シテ繼續スルモ右舷機械ハ舵ヲ取り始ムルト同時ニ減少ヲ始メ終ニ一定時間ノ後ハ其ノ減少ノ度、左舷機械ヨリ著シク多シ、
- (ロ) 面舵ノ場合、取舵ノ場合ト丁度反對ノ現象アリ、

以上(イ)、(ロ)兩場合ニ於テ船ノ速力ト舵角ノ大ナルニ從ツテ回轉數減少ノ數ヲ增加ス、

### 二、外方回轉機械、

- (イ) 取舵ノ場合、此ノ場合ハ内方回轉機械ト反對ニ右舷機械ノ回轉ハ一時其ノ回轉數增加シ、次デ僅カニ其ノ回轉ヲ減少シテ繼續スルモ、左舷機械ハ舵ヲ取り始メルト同時ニ減少ヲ始メ終ニ一定時間ノ後ハ其ノ減少ノ度ハ右舷機械ヨリ著シク多シ、
- (ロ) 面舵ノ場合、取舵ノ場合ト丁度反對ノ現象アリ、

別表6ハ内方外方回轉機械ノ舵角ニヨリテ其ノ回轉數ヲ變ズル有様ヲ連記シタルモノニシテ内方ハ軍艦磐手、外方ハ軍艦春日ニ於ケル實驗ヲ記載セルモノニシテ、之ニ依ル時ハ内方回轉機械ハ外方ニ

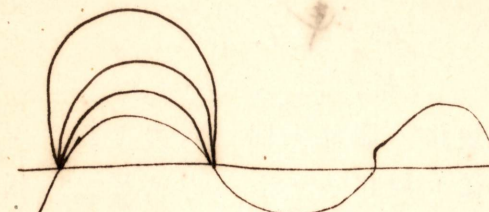
比シ操舵ノ影響ヲ受クルコト甚大ナリ、

### 一六、海ノ深淺ガ艦船速力ニ及ボス影響、

一般ニ水深小ナルトキハ大ナルトキニ比シ船體周圍ノ Stream line ハ比較的三方向ヨリハ二方向ニ壓迫セラルル傾向アリ、從ツテ壓力ノ變化大ニシテ又波浪ノ形成從テ大ナルベク且ツ又船體ニ對スル Stream 速力變化大ナルベク、然レドモ後者ニ基因スル摩擦抵抗ノ增加ハ極メテ僅少ナルモノナリ、而シテ從來諸大家ノ實驗ニ依リ水深ヲ船體ノ長サノ分數ニテ表ハシ一方ニ  $\frac{V}{\sqrt{L}}$  ナル速力對長サノ比ヲ使用スル時ハ船ノ大小ニ係ラズ抵抗ノ變調ハ殆ンド一定ノ速力ニ於テ起ルモノニシテ水深小ナル場合ニ於ケル抵抗ハ第18圖ノ如ク速力ノ增加スルニ從ヒ漸次水深大ナル場合ノ抵抗ヲ超過シ遂ニ或ル速力ニ於テ最大值ニ達シ尙速力ヲ增加スルトキハ抵抗ハ反テ一時減少シテ或ル最小值ニ達シ、更ニ速力ノ增加スルニ從ヒ抵抗ハ漸次増加シ初ムベシ、又此レト同時ニ Trim 變化ヲ來スペシ。

以上ハ高力艦船ノ場合ニテ  $\frac{V}{\sqrt{L}} = 0.9$  内外ノ低速力艦船ノ場合ニ於テハ馬力ノ不足ニ依リ此ノ最大值ヲ飛越スコト困難ナリ、從テ此ノ種艦船ハ常ニ水深ノ不足ヨリ不利ナル影響ヲ受クルモノトス、而シテ此ノ抵抗ノ增加シ始ムル水深ノ程度ニ關シテ D. W. Taylor 氏ノ研究ノ結果 Block coefficient 0.65 ヲ超過セズ  $\frac{V}{\sqrt{L}} = 0.9$  以下ナル時抵抗ノ增加シ始ムル水深ハ大凡次式ヲ以

水深ト抵抗ノ關係



テ表ハシ得ルモノナリト云フ、

$$d_o = 10 H \frac{V}{\sqrt{L}}.$$

$d_o$ .....水深、呎

H.....船ノ吃水、呎

V.....船ノ馬力、節

L.....船ノ長サ、呎

斯クノ如キ抵抗變化ノ關係上同一馬力ヲ以テシテ  
モ其ノ速力水深ニ從ヒ變化スル者ニシテ、從ツテ艦船  
ノ公試運轉ニ於テモ速力ノ比較ニ水深ノ關係ヲ加ヘ  
ザルベカラザルニ至レリ、例ヘバ大形ノ戰艦及ビ巡洋  
艦ノ場合ニ於テハ水深ヲ吃水ノ10倍乃至11倍ニ取レ  
バ、先ヅ良好ノ結果ヲ得可シ、

然ルニ驅逐艦水雷艇ノ如キ吃水淺クシテ高速力ノ  
者ニアツテハ、或ル速力以上却ツテ反對トナリ淺キ所  
ニ抵抗ヲ減ジテ速力ノ利益ヲ得ルノ事實ヲ認ムルニ  
至レリ、第19圖ハ驅逐艦綾波ガ新造公試運轉ノ際ニ得  
タル成績ニシテ、黒線ハ水深平均7尋、點線ハ40尋以上  
ノ場所ニ於テ施行セシ者ニ換算セシ想定線ナリ、

### 第三章

#### 螺旋推進器形狀及構造

##### 一七、翼ノ形狀、

Form of Blades

翼ニハ種々ノ形狀アリト雖モ之ヲ列舉スルモ必要ナキヲ以テ茲ニハ最モ一般ニ用ヒラルル者ヲ説明スベシ、

翼ノ形狀ガ推進力ニ如何ナル結果ヲ及ボスカハ尙末ダ疑問ニシテ、一艦ニ有効ナル形狀モ他艦ニ採用シテ必ズシモ好結果ヲ收メザルコトアリ、故ニ現今吾人ノ智識ヲ以テシテハ或ル艦ニハ如何ナル形狀ガ最モ有効ナリト言フ確證ヲ前以テ與フルコト能ハザルナリ、然レドモ推進効率ニ就テ考フル時ハ、一般ノ法則トシテ節ト翼ノ表面トハ之ト密接ノ關係ヲ有スルモ、翼ノ形狀ハ然ラズ、唯船體ノ震動ニハ影響ヲ有スルモノナリ、

摩擦ノ爲メニ吸收サルル力ト Stream line ヲ攪亂スルノ結果モ、翼ノ有効ナル形狀ノ決定ニ關係スル所多キモ、未ダ精確ナル決定ヲ得ル能ハザルナリ、

翼ハ軸ニ近ツクニ從ヒテ角度增加スルヲ以テ轂ノ

小ナル場合ニハ、此ノ部分ハ單ニ水ヲ攪亂スルニ止マリ推進効率甚ダ小トナル、此ノ現象ハ最初採用セラレシ推進器、即チ轂ノ大サ僅カニ軸ノ直徑ノ約二倍ヲ有セシ者ニ於テ著シク、翼ハ此ノ部分ニテ始ンド前後ニ向キ居レリ、尙ホ此ノ時代ノ推進器ハ螺旋ノ長サモ轂取付部ヨリ尖端迄始ンド同一ニシテ、側面圖ニ於テハ長方形トナルヲ以テ廣キ翼端ハ表面摩擦ノ爲メ多クノ力ヲ吸收セリ、

### 一八、Griffiths 式螺旋推進器。

Griffith's Screw Propeller

現今吸餉式機械裝備ノ艦船ハ一般ニ使用セラルル螺旋推進器ハ今ヨリ 50 年前 Mr. Robert Griffith's 氏ガ其ノ形狀ニ大ナル改良ヲ施セシ者ニ多少ノ變形ヲ加ヘタル者ニシテ、同氏改良ノ要點ハ、次ノ如シ、

第一、推進器直徑ノ約  $\frac{1}{3}$  ニ相當スル特ニ大ナル球

形轂ヲ取付ケ軸ニ近キ翼ヲ除去シタルコト、

第二、翼ハ尖端ニ行クニ從ヒ其ノ幅ヲ狹メタルコト、

第三、翼ト轂ノ取付用螺釘ヲ包ミ且ツ節ノ變更ヲ  
容易ニ行ヒ得ル様ニセルコト、

第一ハ現今ノ螺旋ニ於テハ其ノ直徑ノ約  $\frac{1}{4}$  乃至  $\frac{1}{5}$   
ノ轂ヲ有スルニ過ギズ、第二ハ速度ト比例シテ翼面積  
減少スルヲ以テ之ニ受クル壓力一様トナリ、又抵抗ハ  
浸水度ニ比例スルヲ以テ上下翼ニ受クル壓力ノ不平  
均ガ小面積ノ部分ニ限ラルノ利アリ、

次ニ掲タルモノハ Griffith's 式螺旋ノ各部ノ寸法ト節トノ割合ヲ示シタル一例ナリ、

Width of blades at tip .....	0.07	pitch
Greatest width .....	0.167	"
Width at root .....	0.12	"
Aggregate length of two blades.....	0.24	"
Widest part of blade .....	{about $\frac{4}{10}$ of radius from centre}	

第 20 圖ハ Griffith's 式改良形三翼推進器ノ構造ヲ示シ、四枚翼ノ構造モ又殆ンド同様ナリ、

## 一九、Thornycroft 式螺旋推進器、

Thornycroft Screw Propeller

第 21 圖ニ示ス者ハ同社製驅逐艦及ビ水雷艇ニ使用セラルル形狀ニシテ、節ハ翼ノ尖端ト取付部附近ハ一様ナレドモ、中央ニ行クニ從ヒ次  
*(orally)* 第三增加セシメタリ、是レ取付部附近ハ翼ノ角度大ナル爲メ節ノ増加  
ハ水ニ與フル旋轉運動大トナリ、又尖端モ水ヲ加速シテ短絡ナル現象  
ヲ生ズルノ恐アルヲ以テナリ、翼ハ後方ニ傾斜シ其ノ表面稍々凹形ト  
ナリ水ノ旋轉運動ヲ防止スルト同時ニ水流ヲ正シク後部ニ送ル如ク  
セリ、

凡ソ驅逐艦水雷艇ノ如キ淺屹水ノ艦艇ニ推進器ヲ裝置セシニハ回  
轉ノ際水ノ表面ヲ攪亂セズシテ然モ必要ナル翼面積ヲ有スル形狀ナ  
ラザルベカラズ、斯ノ如キ場合ニハ此ノ式螺旋ガ最モ有効ナルモノ  
ナリ、

## 二〇、Screw turbine 推進器、

Thornycroft 氏ノ Screw turbine 推進器ハ第 22 圖ニ示ス如キ者ニシテ、推  
進器ニヨリテ與ヘラレタル水ノ回轉運動ヲ漸次ニ破壊シテ水ヲ艦尾  
ノ方向ニ放出スル爲メニ推進器ト反對ノ傾斜ヲ有スル導翼ヲ備ヘ、且

ツ推進器ニヨリテ水ノ運動ヲ漸次ニ加速スル装置ヲ附セリ、

普通ノ推進器ニ於テハ、翼ノ先端ハ急ニ水ニ動クヲ以テ推力ノ損失ヲ來ス者ナリ、Thornycroft式 Screw turbine 推進器ハ Tunnel A ノ中ニ於テ回轉スル者ニシテ、推進器ノ轂ハ前部ヨリ後部ニ進ムニ從ヒ其ノ直徑ヲ増加シ、從ツテ Tunnel 内ノ水ノ通過面積ハ漸次減少ス、水ハ船ノ速力を以テ Tunnel 内ニ入込ミ面積ノ遞減セル路ヲ通過シテ次第ニ速力を增加ス、推進器ハ此ノ速力增加ニ適應スル Increasing pitch ノモノニシテ後端ニハ導翼ヲ取付ケ其ノ後部ニ轂ノ延長部ヲ形成セル長キ尾部ヲ有シ、水ノ速力ヲシテ通路中ノ面積大ナル部分ノ速力を復セシム、

本式ノ推進器ハ普通ノ推進器ニ比シテ其ノ動ク水量が比較的少ナキ場合ニ於テモ有効ニ動作シ得ルヲ以テ吃水ノ淺キ艦船ニ用フルニ適シ Nile 河ニ浮ベル汽船ニハ、此ノ式ヲ採用セル者多シ、然レドモ此ノ式ハ後進ノ場合ニハ効力充分ナラザルヲ以テ後進用トシテハ別個ノ小ナル普通推進器 B ノ裝備ス、

又 Yarrow 會社ハ Nile 河ニ浮ベル吃水淺キ同型ノ汽船ニ船尾ニ Tunnel チ設ケ、其ノ中ニ推進器ヲ動カシムルノ裝置ヲ採用セリ、此ノ場合ニ於テハ推進器ノ頂部ハ水面以上ニアルモ、推進器ノ動作ヲ起ス時ハ Tunnel ハ水ヲ以テ満タサレ水ノ供給ハ充分ナリ、

軍艦 隔て。

## 二一、「タルビン」式機械用推進器、

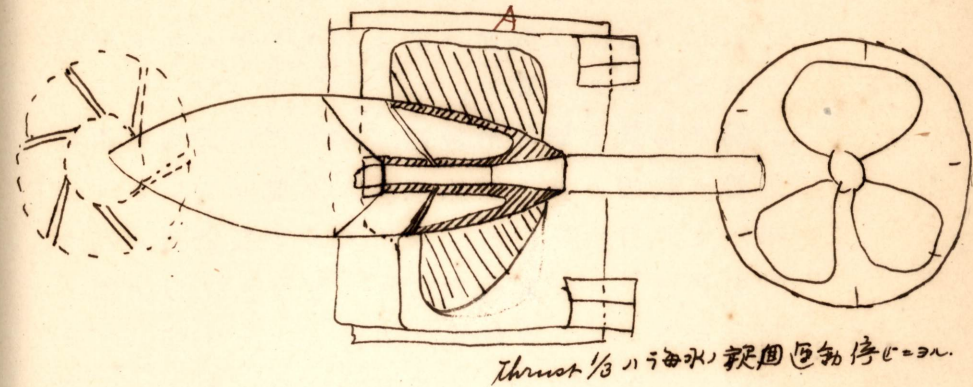
Screw Propeller in Turbine Vessels

「タルビン」式機械ヲ裝備セル艦船ハ 2 本乃至 4 本ノ推進軸ヲ有シ各軸 1 個ノ推進器ヲ附スルヲ例トス、

「タルビン」式機械ノ採用當初 1 軸 2 個宛ノ推進器ヲ附セルモノアリシモ、後方推進器ガ前方ノ攪亂シタル水流中ニ作用スル爲メ良好ノ結果ヲ得ルニ困難ナルヲ發見セリ、

一、推進器ノ釣合ハ殊ニ此ノ式ニアリテハ必要ニ

Propeller balance



シテ、普通轂ノ孔ニ棒ヲ通シ之ヲ又端ノ上ニ載セ  
テ精密ナル試験ヲナシ、重量ノ差ハ翼ノ裏面ニ於  
テ取捨ヲ行フ、又翼面ハ能ク磨キテ滑ニナシ摩擦  
ヲ減ゼシムルヲ要ス、

二、翼ノ形狀ト圓錐形轂端、「タルビン」式機械用推進器ノ轂端ハ長キ圓錐形トナリ、翼ヨリノ水ヲ出來ル丈ヶ自由ニ後方ニ流出セシム、又機械ノ高キ効率ヲ得シニハ回轉數多キヲ要スルヲ以テ節ハ割合ニ小ナリ、且ツ螺旋ノ直徑モ大ナル能ハザルガ故ニ盤面積ニ對シテ翼面積ヲ増ス爲メ、第23圖及ビ第24圖ノ如キ形狀トナル、

三、節ノ比、螺旋ノ節ト、直徑トノ比ハ略一定ナル  
ヲ以テ直徑ガ決定セバ、自然ニ其ノ數ハ得ラルベキモノニシテ、吸餽式機械ノ場合ニハ此ノ比ハ1乃至4.4ナリシモ、「タルビン」式機械直結ノモノニ於テハ常ニ0.8乃至0.9ニシテ、即チ節ハ常ニ直徑ヨリ小ナリ、但シ最近減速裝置ノ採用ニヨリ再ビ1以上ノ節ノ比ヲ用ユルコトトナレリ、次ニ面積ノ比即チ全展開面ト、盤面積トノ比ハ吸餽式機械ノ0.3乃至0.4ガ「タルビン」式機械用推進器ニ於テハ0.4乃至0.8ニ增加セリ、

下ニ數種ノ例題ヲ掲グ、

例題一、吸餽式機械ノ螺旋推進器節15呪ニシテ直徑12呪ナルトキ節ノ比ヲ問フ、

[解]  $15 \div 12 = 1.25$  Pitch-ratio

例題二、軍艦伊吹ノ推進器ノ節 10 呎ニシテ、直徑 13

呎 6 時ナリト言フ、節ノ比ヲ問フ、

[解]  $10 \div 13.5 = 0.74$ . Pitch-ratio

例題三、驅逐艦谷風ノ螺旋推進器ハ節 12 呎 1 時ニ

シテ直徑 9 吹 6 時ナリ、節ノ比ヲ問フ、

[解]  $12.084 \div 9.5 = 1.272$ .

例題四、吸欝式ノ場合ニ直徑 12 呎、翼面積 34 平方呎

ナレバ投射面積ノ比ヲ問フ、

Projected area ratio

[解]  $34 \div 12^2 \times .7854 = 0.3$  Projected A. R.

例題五、「タルビン」式機械ノ場合ニ直徑 5 呎、翼面積

12 平方呎ナレバ同上ノ比ヲ問フ、

[解]  $12 \div 5^2 \times .7854 = 0.6$  Projected A. R.

一般ニ此ノ式推進器ニ於テハ翼ハ何レモ真螺旋面ニシテ Variable pitch の利益ヲ認メズ、必要ナル條件ハ節直徑及ビ翼面ノ適當ナル割合ヲ得ルニアリ、

## 二二、螺旋推進器ノ翼數、

Number of Blades

翼ハ通常 2 枚乃至 4 枚ニシテ 2 翼ハ荒天ノ際結果宜シカラズ、3 翼及ビ 4 翼ハ著シキ差異ヲ認メザレドモ、前者ハ 1 翼折損ノ際釣合甚シク不良ナルヲ以テ夫等ノ關係ヨリ商船ニハ 4 翼ヲ採用スルモノ多シト雖モ、帝國ノ軍艦ニハ 3 翼ヲ採用セシ者多シ、

2 翼ニ比シ 4 翼推進器ノ震動少ナキコトハ事實ニシテ、是レ推進器回轉ノ際水ガ Stern post 衝擊ノ間隔アルヨリ生ズルコト多キヲ以テ翼ヲ多數ニセバ震動ガ

減少スルヤ明ラカナリ然レドモ必要上非常ニ薄キ翼ヲ製造スルコト能ハザルヲ以テ4枚以上ノ翼ハ却ツテ有効ナラザルモノトス、

### 二三、翼ノ Aggregate length.

此ノ長サハ翼數ノ多少ニ關セズ一定ニシテ、即チ與ヘラレタル直徑ト力量ニ對スル推進器ノ全翼面ハ3翼及ビ4翼ニ關セズ殆ンド同一ナル者ナリ、通常此ノ長サハ節ノ0.25倍乃至0.45倍ガ最モ有効ナルモノニシテ、2翼推進器ニ於テハ此ノ割合ガ螺旋ノ長サヲ節ノ $\frac{1}{4}$ 乃至 $\frac{1}{8}$ トナシ、4翼推進器ニ於テハ $\frac{1}{8}$ 乃至 $\frac{1}{16}$ トナス然レドモ表面ノ摩擦ヨリ生ズル損失ヲ減少セシメンガ爲メ少ナキ數ヲ採用スルヲ以テ普通トス、

### 二四、翼構成材料及ビ其ノ强度、

Material Used for Blades and its Strength

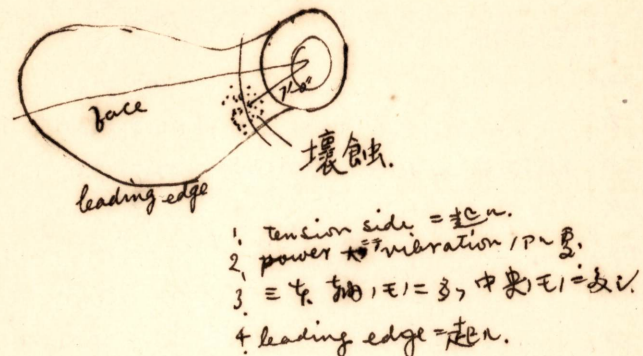
推進器ハ鑄鐵若クハ青銅製ヲ普通トシ青銅製ノ場合ニハ螺釘ニ鍛金屬、即チ Naval brass ノ如キモノヲ用フ、尙ホ軍艦ニハ「マンガン」青銅、磷青銅等ヲ用フルモノ多ク小形ノモノヲ除ケバ何レモ翼ヲ別個ニ鑄造シタルモ最近ニ至リ翼ヲ轂ト一體ニ鑄造スルニ至レリ、鑄鐵製ハ他種金屬ノモノニ比シ價格低廉ナルモ重量及び厚サヲ増スノ缺點アリ、又曾テ鑄鋼製推進器ヲ採用セシモ、是ハ翼ヲ薄クシ抵抗ヲ輕減セシムルノ利ヲ有スレドモ、翼ノ裏面ニ甚シク腐蝕及ビ壞蝕作用ヲ起スノ現象ニ遭遇セリ、此ノ壞蝕作用ハ獨リ鑄鋼製推進器

ノミナラズ、高速艦艇ノ青銅製ノモノニモ屢々見ル現象ニシテ其ノ原因ハ未だ解決ノ運ビニ至ラザルモ、翼  
ガ應力ノ消長ヲ受ケツツ高速ノ水ニ衝擊セラルルト  
キハ此ノ現象ヲ發生スルモノノ如シ、我海軍ニ於テモ  
一等驅逐艦ニ於テ此ノ現象顯著ナルモノアリ、

翼ノ表面、即チ後方面ハ精確ナル螺旋面ナレドモ、翼  
ノ背面ハ厚サヲ附スル必要上稍々橢圓ノ一部ニ近キ  
切斷面ヲ有シ。此ノ面ハ尖端ニ行クニ從ヒ次第ニ扁平  
トナル、尙ホ摩擦ヲ減ズルノ目的ヨリ翼面ハ出來ル丈  
ケ滑カニナサザルベカラズ。

翼ノ強度ハ少ナクモ軸ノ轉扭作用ニ對シテ充分ナ  
ラザルベカラズト雖、又一方岩礁等ニ接觸シタル場合  
ニハ軸ヨリ先キニ破損スペキ程度ノモノタルヲ要シ  
其ノ上尖端ハ一層早ク折損セザルベカラズ、斯クノ如  
クセバ破損翼ヲ以テ尙ホ推進作用ヲ遂行スルコトヲ  
得可シ。

「タルビン」式機械ノ發達ニ伴ヒテ推進器ノ攻克一層  
其ノ度ヲ進メ、一時我海軍ニ於テモ其ノ材料トシテ  
Monel metal (ニッケル、銅、鐵ノ合金)、Torbadium (銅、鉛、鐵、Alumi-  
nium, Manganes ノ 合金)、Stone bronze 等ノ合金ガ用井ラレ  
シモ、結局特種ノ配合ヲ有スル「マンガン」青銅最モ適當  
ナルモノトシテ我海軍ニ於テモ多數ノ艦艇ニ之ヲ採  
用シツツアリ、之ヲ表示スレバ次ノ如シ、



### manganese bronze: —.

8 Mn Cu Zn Al Fe Sn Ni Pb	Cu	56.53
	Zn	38.04
	Mn	2.30
	Al	1.13
	Fe	0.88
	Sn	0.57
	Ni	0.55
	Pb	—

艦名	製造所	製造年月日	材質	重量	緊張力試験	
					最高緊張力 T. Lbs	伸 %
山風 左	三菱造船所	元-9-	Stone bronze	1'0095	33,88	24,46 <small>二時半伸</small>
” 中央	”	”	”	1'0107	30,00	17,14 <small>二時半伸</small>
” 右	”	”	”	1'0118	30,36	16,54 <small>弱</small>
比叡 左内	横須賀工廠	元-10-20	〔マンガン〕青銅	7'2047	37,97	18,23 <small>弱</small>
” 左外	”	”	”	7'1048	37,40	16,41 <small>強</small>
” 右内	”	”	”	7'1967	37,43	14,92
” 右外	”	”	”	7'0733	36,70	16,80
海風 左	”	元-12-27	”	2093	37,81	16,87
” 中央	”	”	”	2038	37,04	16,80
” 右	”	”	”	2127	37,03	16,21
山風 右	三菱造船所	元-12-	Turbiston bronze	1'16	39,24	23,43
” 中央	”	”	”	1'631	39,36	22,5
樺 左	横須賀工廠	3-10-23	〔マンガン〕青銅	1472	36,368	32,367
” 右	”	3-10-21	”	1493	34,883	30,134
” 中央	”	3-10-27	”	1465	35,143	27,901
山城 左内	”	4-10-1	”	5'1168	37,333	16,969
” 右内	”	”	”	5'1166	38,53	23,44
” 左外	”	”	”	4'2238	24,45	21,252
” 右外	”	”	”	4'2216	38,714	15,856
霧島	”	4-9-18	”	42,8	17,19	
扶桑	”	3-2-15	”	38,4	17,19	
河内	”	元-8-4	”	38,4	17,19	
鞍馬	”	44-1-	”	28,0	21,88	
薩摩	”	39-11-	”	29,6	18,75	

## 二五、節ノ變更。

從來吸鍔式機械採用ノ艦船推進器ハ翼ト、轂トヲ別個ニナシ裝備後ニ於テモ、尙ホ節ヲ變向シ得ル様裏ノ取付螺釘孔ヲ橢圓形トナセリ、艦船が公試運轉ニ於テ適良ナル節ヲ見出サントスルトキ、又ハ罐ガ衰朽シタル場合ニ於テ節ヲ變更スルモノナリ、扱テ罐ガ衰朽シタルトキハ其ノ使用壓力ヲ減降セザルベカラザルハ論ヲ俟タズ、然レドモ罐ニ於テ釀成シ得ル蒸氣ノ重量ハ罐壓力ノ減降ニ拘ハラズ大凡同一ノモノナリ、然シテ低壓力ニテ釀成シタル蒸氣ハ高壓力ノモノニ比シ比容遙ニ大ナルハ其ノ特質ナリ、故ニ今同一機械ニテ同一重量ノ蒸氣ヲ使用セントスルニハ低壓蒸氣使用ノ時ハ、高壓蒸氣ノ場合ニ比シ機械回轉ヲ增加シテ、其ノ使用容量ヲ増ス必要アリ、然ルニ機械ノ一衝程每ニ發生スル力量ハ、壓力ノ減降ト共ニ減少スルヲ以テ其ノ負荷ヲ減ズル爲メ推進器ノ節ヲ減少スルナリ、斯ノ如クニシテ節ヲ減ズルト共ニ回轉ヲ增加シ以テ一定時間ノ速力ヲ壓力減降前ト同一ニ保ツヲ目的トス、

## 第四章

### 螺旋推進器畫法

#### 二六、節計測法、

此ノ計測法ハ場合ニ應ジテ種々ノ方法ヲ要ス、次ニ其ノ内ノ數種ノモノヲ掲グ、

第一法、節ヲ計測スルニハ、先づ次ノ三者ヲ知ルヲ要ス、即チ

- 一、節ヲ計測セントスル位置ノ半徑、
- 二、節ヲ要スル二點間ノ角度、
- 三、上ノ角度ニ相當スル圓弧、即チ二點間ヲ通ル圓周ノ一部、

然シテ其ノ方法ハ第25圖ノ如クス、即チ圖ノOAハ軸ニ直角ニ取付ケラレ自由ニ廻動スル定規ニシテ、等距離ニ孔ヲ穿ツ、此ノ孔ニハ時ニテ目盛アル棒ヲ通シ、其ノ棒ハ又軸ニ平行ニシテ自由ニ動ク裝置ナリ、故ニ定規ヲ動カセバ其ノ棒ハ軸ヲ中心トシタル圓弧ヲ翼面ニ畫クベシ、

定規ヨリB及ビC迄ノ距離ヲ計測シ、各其ノ長サヲ $b, c$ トセバ $(c-b)$ ハ $\theta$ 角丈ケ動キシ時ノ差トナ

ル、而ルニ B ガ一周セバ其ノ差ハ全節トナルニヨリ、次式ヲ得可シ、

$360^\circ$  or  $2\pi$  : BC 間ノ角度 ( $\theta$ ) :: 節 : 節ノ分射 ( $c-b$ )

$$\therefore \text{節} = \frac{2\pi}{\theta} \times (c-b)$$

例題一、節計測ニ於テ  $b = 3\frac{1}{8}''$ ,  $c = 17\frac{1}{2}''$ ,  $\theta = 30^\circ$  ナ  
ソシトセバ

$$17\frac{1}{2}'' - 3\frac{1}{8}'' = 14\frac{3}{8}''$$

$$\text{節} = 14\frac{3}{8}'' \times \frac{360}{30} = 172\frac{1}{2}'' = 14\frac{3}{8}\text{呪}$$

故ニ  $\theta$  ガ  $40^\circ$  ノ場合ニハ ( $c-b$ ) ノ値ヲ直チニ呪ニ  
テ顯セバ節ヲ得可シ、

若シ節ガ Variable ノ場合ニモ同法ニ依リテ見出ス  
コトヲ得可シ、即チ節ガ半徑ノ方向カ、又軸ノ方向  
ニ變化アルニ從ツテ同一半徑若クハ異リタル半  
徑ニ於テ數箇所ヲ計測シ、其ノ平均ヲ求ムルニア  
リ、

第二法、一様ナル節ノ場合迅速ニ計測セントスル  
略法、

第4圖ニ於テ見ル如ク或ル半徑  $r$  ノ位置ニ於ケ  
ル翼ハ同ジ節ニテ丁度  $r$  ノ半徑トスル圓筒上ニ  
畫カレタル螺旋ノ一部ニ相等シ、其ノ節角  $\alpha$  ト  
スレバ

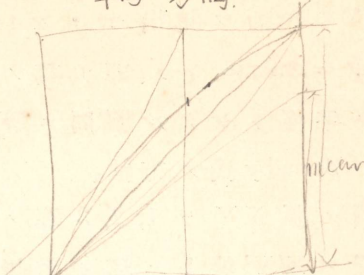
$$\tan \alpha = \frac{\rho}{2\pi r} \quad \rho = 2\pi r \tan \alpha.$$

故ニ今求メントスル推進器翼中ニテ軸線ト  $45^\circ$  度

節=變化アル場合



軸ノ方向



Radially

ノ傾斜アル面ヲ見出セバ  $\tan \alpha = \tan 45^\circ = 1$  ナリ、  
依テ  $P = 2\pi r$  ニシテ、即チ其ノ部迄ノ中心ヨリノ  
距離ヲ半径トシタル圓周ニ等シ、

### 第三法、Barnaby 氏ノ方法、

第25圖ノ弧 XY ヲ 1, 2, 3 等ノ等距離ニ分チ之ヲ  
第26圖ノX'Y'線上ニ移シ定規ヨリ翼面迄ノ距離  
ヲ夫々 11', 22' 等ニテ示ス、今 1', 2' 等ヲ連結シ X'Y'  
線ト A ニ於テ交ラシム、A ヨリ AC ヲ計測シタル  
部分ノ圓周ニ等シクセバ DC ハ求ムル節ナリ、  
若シ Variable pitch ノ場合ニハ曲線ノ兩端ヨリ各切  
線ヲ畫キ、二種ノ節ヲ得テ其ノ平均ヲ取ルニアリ  
第27圖、即チ是レナリ、

### 第四法、推進器ガ水平ニ置カレタル場合ノ方法、

第28圖ノ如ク任意ノ半徑 R (轂ヨリ約 2/3 ノ距離ヲ  
適當トス)ヲ取り、其所ニ一個ノ木片ト二個ノ三角  
定規トヲ置キ節ノ一部ナル P ト、圓周ノ一ナル C ト  
ヲ得、次式ニ依リテ節ヲ見出スコトヲ得可シ、

$$C : 2\pi R :: P : \text{全節}$$

### 第五法、Chapman-hunter pitchrometer.

翼ノ各部ニ於ケル節ヲ直チニ計測スルコトヲ得  
ル携帶用計器ニシテ其ノ構造及ビ使用法、次ノ如  
シ、(第29圖及ビ第30圖)

先づ轂ノ中心ヨリ翼面ニ諸種ノ半徑ヲ以テ凡ツ  
1 呪毎ニ弧ヲ畫ク、計器ニハ一端ニ數字ニテ諸種  
ノ直徑ヲ示シ、各其ノ曲線ニ沿フテ節ノ割度ヲ附

ス、

今推進器ガ圖ノ如キ位置ニアリトセバ最初計器ヲAノ所ニ置キKK'ヲ轂ノ面ニ附着セシム、斯くて支腕ヲ目盛ノ零ニナシ、水平器Lヲ平ニシテ止螺Tニテ兩者ヲ固定ス、故ニ此ノ關係位置ハ變化スルコトナシ、次ニ之ヲBニ移シKK'ヲ曩ニ畫キタル弧線ノ一ニ置キ、支腕ヲ動カシテ水平器ノ平ニナル點ニ至リテ止ム、其ノ場合ニ目盛板上ノ直線ニ相當スル線ト、支腕トノ出會點ニアル數ハ節ヲ示ス、尙ほ他ノ弧上ノ節モ同一方法ニテ見出スヲ得可シ、

$$P = \frac{2\pi}{\theta} (a - d)$$

Pitch  
Boss

## 二七、諸種ノ畫法、

螺旋推進器ヲ畫ク要件ハ第一翼ノ面積及ビ形狀、第二節、第三翼ノ厚サ及ビ轂ノ決定ヲ要シ、第31圖ハ其ノ

〔第一翼面積及形狀〕  
畫法ヲ示ス。

第一法、先づ興ヘラレタル轂ノ直徑ト長サヲ以テ大凡ノ形狀ヲ畫キ次ニ翼ノ面積ト形狀ヲ定ム、今假リニ三翼推進器ノ場合トシ、翼ノ半面ハ計畫ニ依リ定メラレタル全面積ノ%ナレバ、FDヲ翼ノ長サニ取り、其レト同面積ナルFCGH長方形ヲ畫キ又之ト略ボ同一面積ニシテ望ム所ノ形狀ニナル様 Free handニテ CDEヲ畫キ、要スルトキハ測面計ヲ用ヰテ修正ヲ行フ、斯くて此ノ形狀ヲ他ノ半面ニ移シテ翼ヲ完成スルモノトス、

第二法、橢圓ノ弧ヲ用フルノ法ハ第32圖ニ示ス如ク、半徑ヲ二分シタルA點ヨリ半圓ヲ畫キ、轂ハ前法ノ如クシテFC間ヲ任意ノ數ニ分チ、各點ヨリXYニ平行線ヲ畫ク、今此等ノ線ヲ同一比ニ分チテ其ノ點ヲ連結セバ橢圓ヲ得可シ、例ヘバ  $PH_r = 0.5 PH$ ,  $AB_r = 0.5 AB$  等ニ分テバ圖ノ如キ橢圓ヲ得ルガ如シ、故ニ一般ニハ場合ニ應シテ唯此ノ比ヲ決定セバ足レリ、素ヨリ其ノ關係ハ轂ノ大サニ依ルコト多ク通常轂ガ螺旋直徑ノ0.2倍位ナルトキハ、次ノ法則ニ從フ、

$$\frac{1.485 \times \text{翼一枚ノ面積}}{(\text{螺旋直徑})^2}.$$

上式ハ翼ト同一ニナリ居ル大形轂ノ場合ニシテ、若シ小形ナレバ稍々減ジ、<sup>Detachable blades</sup>翼ヲ取外シ得ル轂ナレバ稍々大トナル、此ノ場合ニ於テモ要スレバ測面計ヲ用ヰテ修正ヲ行フコト、第一法ト同ジ、

橢圓翼ハ他ノ形狀ト比シ何等ノ利害ヲ認メザレドモ然カモ計畫者ハ往々標準形狀トシテ採用スルコトアリ、

第二節ノ決定、一様ノ節ヲ有スル螺旋ノ節角度ハ  
Pitch angle  
同一半徑ニ於テハ相等シキモ、軸ヨリノ距離ニ從ツテ變化スルモノナレバ、若シ翼ノ取付ケ部ヨリ翼端迄ノ間ニ於テ軸ノ中心ヨリ種々ノ距離ニ於ケル節角度ヲ見出ストキハ、各部翼ノ傾斜ヲ知ルヲ得可シ、

今第33圖ハ第4圖ノ一部ヲ移シタルモノニシテ、即チPP'及ビP'S'ヲ各 $2\pi$ 即チ6.2832ニテ除セバAP'及ビ

$PB'$  トナリ、次ノ關係ヲ得可シ、

$$P'AB = P'PS'$$

$$AP' = PP' \div 2\pi = \text{Circumference} \div 2\pi = \text{Radius}$$

$$BP' = \text{Pitch} \div 2\pi.$$

故ニ直角三角形ノ一邊ニ半徑ヲ置キ、他ヲ Pitch  $\div 2\pi$  トセバ、後者ニ對スル角ハ節角度トナル、

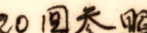
此ノ方法ヲ實際第31圖ニ適用スルニ先づ OP ヲ Pitch  $\div 2\pi$  を取リ、軸ノ中心ヨリ任意ノ距離假リニ M ニ於ケル節角度ヲ見出サントセバ MP ヲ結ブニアリ、然ルトキ PMO ハ此ノ點ニ於ケル節角度ナリ、同一方法ニ依リ他ノ諸點ノ節角度ヲも見出スヲ得可シ、

此等ノ節角度ハ又模型製造ノ場合ニハ翼ノ傾斜度試験ニ、又模型ニ依ラズシテ直接鑄型製造ノ場合ニハ Guide iron 製造ニ必要ナルモノナリ、

第三翼ノ厚サ及ビ其ノ分布、第34圖 AC ヲ穀取付部ニ於ケル定メラレタル厚サトシ、CB ヲ畫クトキハ尖端ハ餘リニ薄クナリテ鑄造ニ適セザルモ、他ノ各部ハ適當ノ厚サヲ得可シ、故ニ尖端ノミノ修正ヲ行ハザルベカラズ、即チ B ヨリ鑄造ニ適スル範圍ノ最狭角度ヲ有スル BD ナル曲線ヲ畫キ、D ヨリ DE ヲ CB 線ト E ニ於テ會セシム、第35圖ハ之ヲ大形ニ畫キタルモノナリ、

次ニ翼ノ兩端ニ於ケル厚サノ分布ハ假リニ FG ノ如キ位置ノモノヲ得ントセバ、HK ヲ半徑トシテ弧 KJ ヲ畫キ、J, F 及ビ G ナル三點ヲ通過スル圓弧ヲ畫クベ

シ、此ノ場合ニ於テモ翼ノ尖端附近ハ又修正ヲ要スペキモノニシテ、例へバ LMN ノ如キ場所ニアリテハ、L 及ビ N 部ハ餘リニ薄キヲ以テ前ト同法ニテ鑄造ニ適スル角度、即チ青銅ニ於テハ 8 度乃至 10 度、鑄鐵ニアリテハ 20 度乃至 30 度ニ修正シ、第 36 圖ノ如ク中央部 M 附近ハ LN = 平行ニシテ兩端ハ LP 及ビ NQ = L 及ビ N 點ニ於テ觸接スル如キ曲線トナスニアリ。

或ル場合ニハ翼ノ表面ニ厚サヲ増加スルコトアリ、即チ翼ヲ取外シ得ル者ニ於テ螺釘孔ノ配列ヲ適當ニスル爲メ轂取付部附近ニ應用セラルムモスノ如クセバ効率ノ損失ハ多少ノ免レザルモノニシテ、表裏ニ於ケル厚サノ分布ハ第 37 圖 BD ノ如シ、

## 二八、翼ノ射影法、

Projection of Blades

軸ニ平行若クハ直角ノ平面上ニ翼ヲ射影スルニハ複雑ニシテ精確ノ方法アリト雖モ、簡略ニシテ實用上差支ナキモノヲ第 38 圖ニ示ス、

- 今 (a) 圖ノ外廓線ハ翼ヲ展開シタル形狀ニシテ
- 第一、(b)ニ轂ノ端面圖ヲ畫クトシ OG ヲ OF ニ等シクス、
- 第二、 $OP = \text{Pitch} \div 2\pi$  トシ P 點ヲ定ム、
- 第三、AB ヲ翼ノ或ル點ノ幅トシ CP ヲ結ブ、然ルトキハ PCO ハ横斷面トナス角トナリ、CPO ハ縦斷面トナス角トナル、
- 第四、PQ = BC トシ QR ヲ畫ク、

第五、PRハCBヲ縦断面ニ射影シタルモノトナルヲ以テ此ノ距離ヲCB<sub>1</sub>ニ取レバB<sub>1</sub>ハBノ射影點ナリ。

第六、Cヲ(6)圖ノDニ移シHK弧ヲ畫ク。

第七、QRヲDB<sub>2</sub>ノ弦ニ取レバB<sub>2</sub>ハBノ横断面ニ於ケル射影點ナリ。

斯ノ如ク同一方法ヲ用ヒテ他ノ諸點ヲ見出シ半面ヨリ及ボシテ兩側ノ射影圖ヲ完成スルモノトス、尙ホ此ノ外翼ノ先端ヨリ見タル射影圖モ容易ニ畫クコトヲ得可シ。

## 二九、翼ノ射影別法、

第28項ノ方法ハ簡略ナレドモ幅廣クシテ比較的小ナル推進器翼ヲ畫ク時ニハ適當ナラズ、故ニ「タルビン」式機械用ノ推進器ヲ射影スルニハ次ノ方法ニヨルヲ良好トス。

第38圖(C)ノa<sub>1</sub>b<sub>1</sub>.....L.....b<sub>2</sub>a<sub>2</sub>ハ所定ノ展開面トシテ畫カレタルモノトス、BHハ轂ノ中心部ノ半徑トス、

先づ軸HLヲ適當ニ區分シテ其ノ點ヲa,b,c,d,e,f等トス、轂ノ中心ヲBトシ其ノ軸線上ニBヨリ $\frac{1}{2\pi}$ ノ長サヲ取テA點ヲ定メ、Aト右ノa,b,c,d,e,fト連ヌルトキハ、是レ即チ節線ニシテ其ノ節線トHL軸トナス角ハ、其ノ各點ノ位置ニ於ケル節角度<sup>Pitch line</sup>示スモノナリ、  
Pitch angle

今中心ヨリBCノ距離ヲ有スル翼ノ一部ヲ射影セシニACヲ長軸ノ半トシ、BCヲ短軸ノ半トシテ

椭圓  $C_1CC_2$  を書き展開面ト  $C_1C_2$  ニテ截ラシム、即チ  $C_1CC_2$  ハ半徑  $BC$  ノ位置ニ於ケル翼構成ノ螺旋  $\text{Helix}$  モノナリ、

次ニ  $C_1C_2$  ノ連ネ  $HL$  軸ト交點ヲ  $C_0$  トス、

(d) 圖ニ  $H'L'$  軸上ニ  $H'K=BA$  トシテ  $KM$  線ヲ作リ  $a, b, c, d, \dots$  等ノ點ヲ移シテ  $a', b', c', d', \dots$  等トス、中心  $P$  ト  $a', b', c', d', \dots$  等トヲ連ヌレバ  $Aa, Ab, Ac, Ad, \dots$  等ニ相當スル  $Pa', Pb', Pd', \dots$  等ノ節線ヲ得可シ、

依テ  $Pc'$  線上ニ  $C_0C_1=PC_7$  ト取リ  $C_7$  ヨリ横線ト縦線ヲ作ルトキハ、 $C_7C_9$  及ビ  $C_9P$  ノ得、即チ前項ニ説明セル如ク  $C_7C_9$  ハ横断面ヘノ射影トナリ、 $C_9P$  ハ縦断面ヘノ射影トナル、

次ニ (d) 圖  $H'L'$  軸上ニ  $a_0, b_0, c_0, d_0, \dots$  等ノ點ヲ移シテ  $a'_0, b'_0, c'_0, d'_0, \dots$  等トス、

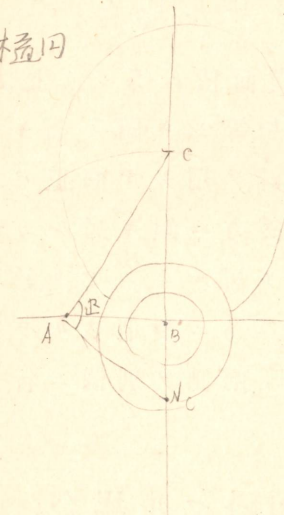
茲ニ於テ前ニ得タル  $C_7C_9=C_0C_3$  及ビ  $C_9P=C_0C_5$  トシテ (c) 圖上ニ  $C_3$ 、(d) 圖上ニ  $C_5$  ノ兩點ヲ得、斯ノ如クニシテ  $a_3, b_3, c_3, d_3, e_3, \dots$  等ノ點ヲ求メテ連ヌルトキハ、横断面ヘ射影シタルモノノ半面ヲ得可ク、又  $a_5, b_5, c_5, d_5, e_5, \dots$  等ノ點ヲ求メテ之ヲ連ヌル時ハ、縦断面ヘ射影ノ半面ヲ得可シ、

依ツテ對稱ナル面ニハ之ヲ反対側ニ同様ニ取レバ可ナリ、

翼ガ對稱ナラザル時ハ  $C_0C_1$  及ビ  $C_0C_2$  ノ長サヲ節線ニ別々ニ取リテ其ノ射影ノ長サヲ求ムベシ、

右ノ方法ニヨリ横断面ト、縦断面トノ射影ヲ得タレ

近似極図



$N_c$  ミラ半径トスル間を画ク

内輪、外輪画ケハ不規則  
弦界ヲ生ズ極図ニシハテ  
ナム弦界ヲ得セズ極図  
ニシハテハ不規則

バ、此ノ平面圖ハ(d)圖ノ點線ニテ示ス如ク  $C_7, C_8$ , ノ如キ他ノ  $a_7, b_7, d_7, \dots$  等ノ點ヲ連結スレバ可ナリ、

次ニ翼ノ右螺ト左螺ニヨリテ平面圖ノ向キヲ異ニスルコトヲ注意スペシ、

### 三〇、翼ガ對稱ナラザル場合、

Blades not Symmetrical

第39圖(a)ノABCDヲ翼面積ニ等シキ長方形トシDCヲ先端ト假定セバ、面積相等シキ圖ノ如キ翼ヲ前法ト同ジク畫キ、後ヨリ測面計ヲ用ヰテ修正ヲ行フ、通常斯ノ如キ翼ノ外形ハ、單ニ後方ニ傾キ居ルガ如クナレドモ、實際ハ曲劍ノ如クナリ居ルモノアリ、鑄型等ノ場合ニモORヲ基線トシテ容易ニ製造スルヲ得可ク、又翼ノ射影法モ前法ト比シ唯兩側ヲ別個ニ行フノ差アルノミ、

### 三一、翼ガ後方ニ傾斜セル場合、

Blades Bent Aft.

第39圖(b)ノFEGヲ傾斜セル角度トシGCヲ前法ト同ジク翼面積ノ半バニ等シキ長方形ノ一邊トシ圖ノ如キ平行四邊形ヲ畫ク、斯クテ翼ノ半面GHKヲ畫キ測面計ヲ用ヰテ面積ノ修正ヲ終リタル後LH, MQ等ノ距離ヲ他ノ半面ニ移シGNJヲ畫ク、此ノ場合ニ於テハEGノ兩側對稱ナラザルモ、同面積ニシテ若シ面積ノ異ナル場合ナレバ、第40圖ノ如クス、但シ節角度ハ翼傾斜ノ如何ニ拘ハラズ、變化ナキヲ以テ今M點ヲGNトFHノ中央トシ、其ノ點ノ角ヲ求ムルニハ、唯OPヲ  $P \div 2\pi$  = 取

リ  $PQ$  ヲ畫キ直角三角形  $POQ$  ヲ作レバ節角度ハ  $\underline{POQ}$   
トナル、

茲ニ注意スペキハ斯ノ如キ翼ニアリテモ、節角度ノ  
線ヲ  $S, M, T, \dots$  等ノ點ヨリセズ、軸ニ直角ナルOR線中  
ノ  $U, Q, V, \dots$  等ノ點ヨリスルニアリ、尙ホ射影圖畫法  
モ前法ト同様ニシテ得ラルルナリ、

### 三二、翼ガ多様節ノ場合、

Variable Pitch

是迄ノ者ハ節ハ何レモ各部一様ナリシガ、先端ヨリ  
後端ニ行クニ從ヒ節ガ  $p_1$  ヨリ  $p_2$  ニ變化スル場合ヲ考  
フルニ、第41圖(a)ニ於テ  $OP$  ヲ  $p_1 \div 2\pi = OQ$  ヲ  $p_2 \div 2\pi$  ニ等  
シクセバ二種ノ節ニ對スル  $PQ$  二點ヲ得可シ、即チ軸  
ヨリ  $OC$  ノ如キ或ル距離ニ於テハ先端ト、後端トニテ  
 $\underline{PCO}$  及ビ  $\underline{QCO}$  ノ二節角度ヲ有ス、斯ノ如クシテ翼ノ中  
間ノ或ル點ニ於ケル節角度モ又  $PQ$  間ノ相當點ヨリ同  
様ノ方法ヲ以テ知ルヲ得可シ、

翼ノ射影法ハ第38圖ニ於テ翼幅ノ射影ヲ節角度ニ  
依リタレドモ、此ノ場合ハ節角度不定ナレバ、 $PQ$  間ノ中  
央點  $R$  ヲ使用スルノ略法ニ依ラザルベカラズ、是レ實  
用上差支ナキ所ノ方法ニシテ、(b)ハ即チ斯クシテ得タ  
ル横斷面ノ射影圖ナリ、

尙ホ節ガ半徑ノ方向ニ變化セル場合ニ於テモ前法  
ノ應用ニテ知ルヲ得可シ、又是レ迄ノ説明ハ何レモ翼  
ヲ取外シ得ル轂ニ就テ爲サザリシモ、是レ大體ニ於テ  
異ナル點ナキト畫法ノ簡略ヲ期センガ爲ナリ、

## 三三、推進器計畫大要、

本項ハ講述ニ譲ル、

W-wing  
C-center

別表一 推進器摘要	艦艇名	軸馬力或ハ 實馬力	每分回轉數	速力(節)	推進器ノ數	直 徑	節	盤面積 $\text{m}^2$	展開面積 $\text{m}^2$	投射面積 $\text{m}^2$
						W 11'-3"	W 9'-9" C 9'-6"	W 99'4 C 99'4	W 55'2 C 59'8	W 49'8 C 54'7
	日向	45,000	300	23	4 3	{ W 11'-3" C 11'-3"	{ W 9'-9" C 9'-6"	{ W 99'4 C 99'4	{ W 55'2 C 59'8	{ W 49'8 C 54'7
	山城	40,000	280	22	4 3	11'-0"	10'-2"	95'0	47'6 C 52'8	46'1 C 42'2
	扶桑	40,000	280	22.5	4 3	{ W 11'-0" C 11'-3"	{ W 10'-2" C 10'-2"	{ W 95'0 C 99'4	46'1 C 51'4	42'2 C 47'3
	攝津	25,000	250	20	2 1	13'-4"	10'-4"	139'6	73'8	68'1
	安藝	21,600	255	20.25	2 1	13'-3"	10'-0"	137'9	78'9	73'1
	薩摩	17,000	120	18.25	2 1	17'-6"	18'-0"	240'5	100'6	87'63
	香取	16,320	120	18.5	2 4	17'-3"	18'-3"	233'7	98	84'4
	金剛	64,000	290	27.5	4 3	12'-0"	11'-3"	113'1	65'8 C 71'5	56'59.1 C 61'56.6
	榛名	64,000	290	27.5	4 3	{ W 12'-0" C 12'-3"	{ W 11'-3" C 11'-6"	{ W 113'1 C 117'86	65'8 C 78'7	59'09.1 C 70'57.1
	伊吹	24,000	270	21.5	2	12'-9"	10'-9"	127'68	79'89	73'25
	鞍馬	22,500	160	21.5	2	16'-3"	17'-0"	207'39	93'76	77'936
	筑摩	22,000	340	26	2	10'-6"	9'-3"	86'59	53'27	48'67
	千歳	15,500	153	22.5	2	13'-0"	17'-0"	132'73	55	42'7
	海風	20,010	670	32	3	{ W 6'-2 C 6'-0	5'-9"	{ W 29'8 C 28'2	23'80 C 24'46	23'56.1 C 20'48.2
	浦風	22,000	650	28	2	7'-0"	6'-8"	38'49	29'8	27'3
	樺	9,500	390	30	3 3	{ W 6'-9" C 6'-6"	{ W 9'-2" C 9'-4"	{ W 35'78 C 33'18	17'83 C 17'79	14'23'15'0 C 14'09'15'0
	朝風	6,000	380	29	2	7'-0"	9'-0"	38'5	19'45	15'4
	鶴	4,200	360	28.5	2	6'-1 $\frac{3}{4}$ "	10'-5 $\frac{1}{8}$ "	21'621	12'744	8'866

備考、馬力、每分回轉數及速力ハ計畫ノモノヲ示ス、



SHEETING TO SHIPS								SHEETING TO SHIPS
19312		19313		19318		19319		
M	n	M	n	M	n	M	n	
1200	28.1	1010	28.1	1210	28.1	1110	29.1	
2000	28.1	8800	29.1	2010	29.1	1810	29.1	
2800	28.1	8800	29.1	2800	29.1	2000	29.1	
3600	28.1	8800	29.1	3600	29.1	2800	29.1	
4400	28.1	8800	29.1	4400	29.1	3600	29.1	
5200	28.1	8800	29.1	5200	29.1	4400	29.1	
6000	28.1	8800	29.1	6000	29.1	5200	29.1	
6800	28.1	8800	29.1	6800	29.1	6000	29.1	

R.E. Froude's Frictional Constants For Paraffine or  
Smoothly ~~Painted~~ Hard Surfaces in Salt Water.

Length of Vessel or Model in Feet.	Coefficient Of Friction.	Power according to which Friction varies.	Copper Sheathing Coef.		Length of Vessel or Model in Feet.	Zinc Sheathing Coef. In Good Condition.	Power according to which Friction varies.
			<i>m</i>	<i>n</i>			
8	.011197	1.825	1000	80	9	.0093300	1.825
9	.011177	1.8484	" .00990	90	90	.0092850	1.8710
10	.011161	1.8440	" .00903	100	865	.0092310	1.8730
12	.011131	1.8397	" .00978	120	81	.0091675	1.8770
14	.011106	1.8357	" .00976	140	81	.0091150	1.8730
16	.01086	1.8290	" .00966	160	81	.0090700	1.8730
18	.01069	1.8290	" .00953	180	81	.0090483	1.8730
20	.01055	1.8290	" .00943	200	81	.0090270	1.8730
25	.01029	1.8290	" .00936	250	81	.0089760	1.8730
30	.01010	1.8290	" .00930	300	81	.0089252	1.8730
35	.00993	1.8290	" .00927	350	81	.0088945	1.8730
40	.00981	1.8290	" .00926	400	81	.0088640	1.8730
45	.00971	1.8290	" .00926	450	81	.0088337	1.8730
50	.00963	1.8290	" .00926	500	81	.0088030	1.8730
60	.00950		"	550		.00877	
70	.00940		"	600		.00874	"

Dr. Tideman's Frictional Constants For Ships in  
Salt Water, of 1.026 Densitg.

CONSTANT C IN TAYLOR'S EQUATION

SMOOTH SURFACES IN SALT WATER

Area of Hull in Square Feet	Area of Superstructure and Rigging in Square Feet	Area of Hull in Square Feet to which Frictional Resistance is Proportional	Coefficient of Friction	Coefficients of Resistance	Weight of Ship to Weight of Hull	Power		
							n	n
238.1	33300.	98	2325	1.835	.8			
"	83500.	99	"	22110.	9			
"	33500.	100	"	12110.	10			
"	83500.	120	"	13110.	12			
"	11300.	140	"	10110.	14			
"	33500.	160	"	88010.	16			
"	40600.	180	"	98010.	18			
"	33500.	200	"	25010.	20			
"	83500.	250	"	15010.	25			
"	33500.	300	"	1010.	30			
"	83500.	350	"	8800.	35			
"	83500.	400	"	18000.	40			
"	83500.	450	"	12000.	45			
"	83500.	500	"	2400.	50			
"	83500.	550	"	0340.	55			

Dr. Tideman's Frictional Constants For Ships in  
Salt Water, of 1.026 Densitg.

CONSTANT C IN TAYLOR'S EQUATION

SMOOTH SURFACES IN SALT WATER

Length of Ship in Feet.	Iron Bottom		WETTED SURFACE Copper or Zinc Sheathed.			
	Clean and Well Painted.		Sheathing Smooth and In Good Condition.		Sheathing Rough and In Bad Condition.	
	n	n	n	n	n	n
10	.01124	1.8530	.01000	1.9175	.01400	1.8700
x 20	.01057	1.8484	.00990	1.9000	.01350	1.8610
30	.01018	1.8440	.00903	1.8650	.01310	1.8530
40	.00998	1.8397	.00978	1.8400	.01275	1.8470
50	.00991	1.8357	.00976	1.8300	.01250	1.8430
100	.00970	1.8290	.00966	1.8270	.01200	1.8430
150	.00957	1.8290	.00953	1.8270	.01183	1.8430
200	.00944	1.8290	.00943	1.8270	.01170	1.8430
250	.00933	1.8290	.00936	1.8270	.01160	1.8430
x 300	.00923	1.8290	.00930	1.8270	.01152	1.8430
+ 350	.00916	1.8290	.00927	1.8270	.01145	1.8430
400	.00910	1.8290	.00926	1.8270	.01140	1.8430
450	.00906	1.8290	.00926	1.8270	.01137	1.8430
x 500	.00904	1.8290	.00926	1.8270	.01136	1.8430







Threading: 羽打外車推器 (羽打車)

Spool driving mechanism used for spinning  
bamboo fiber or cotton fiber. It consists of a  
spool which is held by a frame and a  
spindle which is driven by a motor. The  
spindle has a gear which drives the  
spool. The frame has a support which  
keeps the spool straight.

motor: 電動機 (電動機) 200.0 wats

spool diameter: 直径 2.0 ft. 2.0 ft. 2.0 ft.

spool driving mechanism: 旋盤装置  
which consists of a frame and a spindle  
to hold a spool which is driven by a motor.  
It is used for spinning bamboo fiber.

spool diameter: 直径 2.0 ft. 2.0 ft. 2.0 ft.

spool driving mechanism: 旋盤装置  
which consists of a frame and a spindle  
to hold a spool which is driven by a motor.  
It is used for spinning bamboo fiber.

spool driving mechanism: 旋盤装置  
which consists of a frame and a spindle  
to hold a spool which is driven by a motor.  
It is used for spinning bamboo fiber.

spool driving mechanism: 旋盤装置  
which consists of a frame and a spindle  
to hold a spool which is driven by a motor.  
It is used for spinning bamboo fiber.

spool driving mechanism: 旋盤装置  
which consists of a frame and a spindle  
to hold a spool which is driven by a motor.  
It is used for spinning bamboo fiber.

spool driving mechanism: 旋盤装置  
which consists of a frame and a spindle  
to hold a spool which is driven by a motor.  
It is used for spinning bamboo fiber.

spool driving mechanism: 旋盤装置  
which consists of a frame and a spindle  
to hold a spool which is driven by a motor.  
It is used for spinning bamboo fiber.

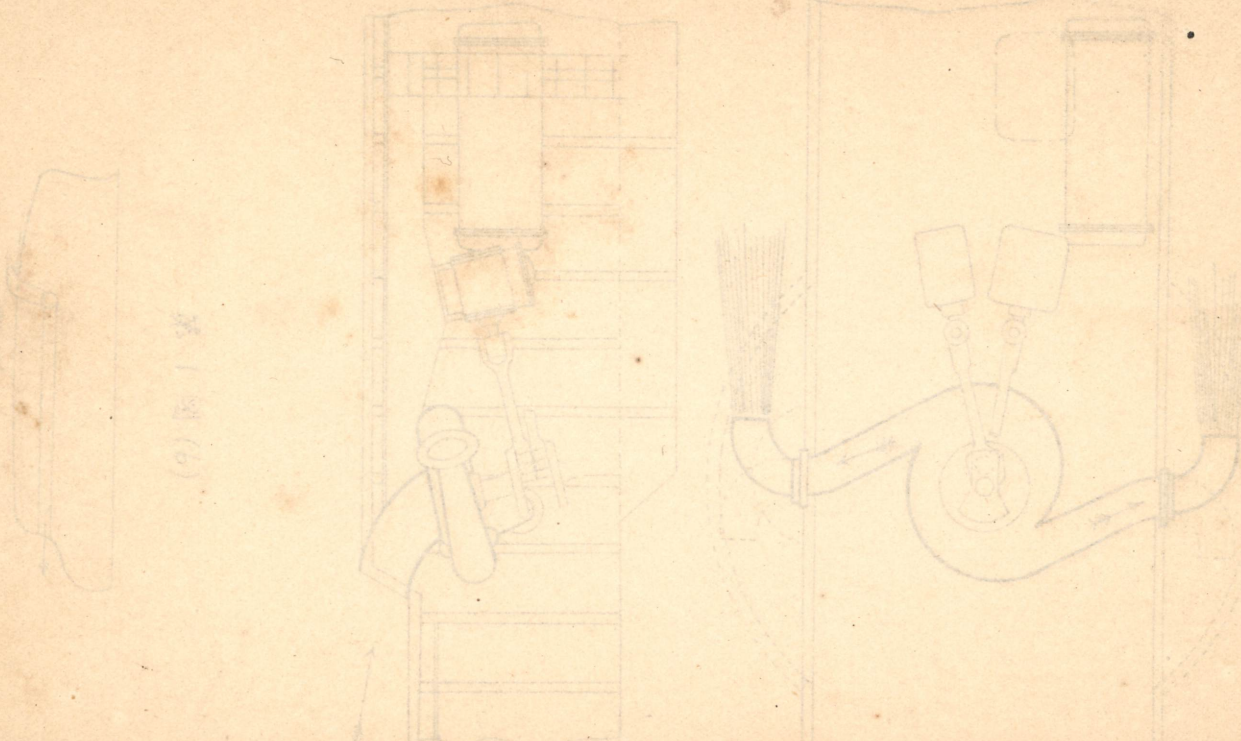
spool driving mechanism: 旋盤装置  
which consists of a frame and a spindle  
to hold a spool which is driven by a motor.  
It is used for spinning bamboo fiber.

spool driving mechanism: 旋盤装置  
which consists of a frame and a spindle  
to hold a spool which is driven by a motor.  
It is used for spinning bamboo fiber.

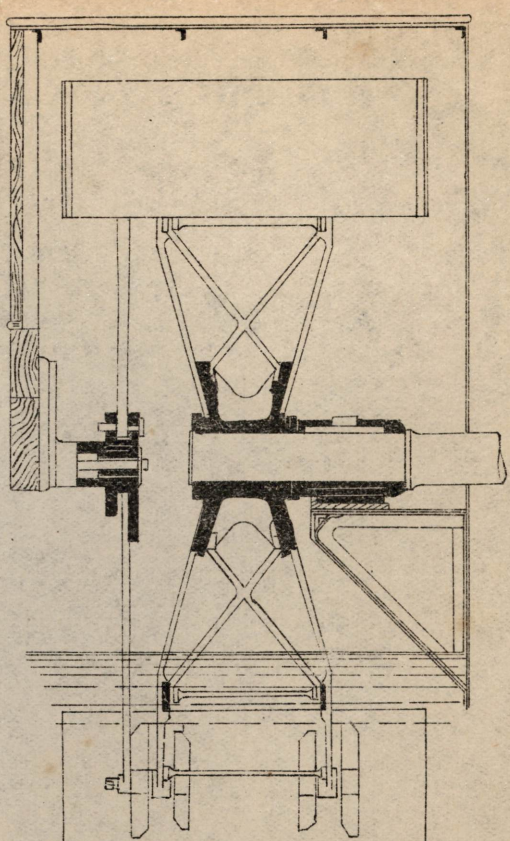
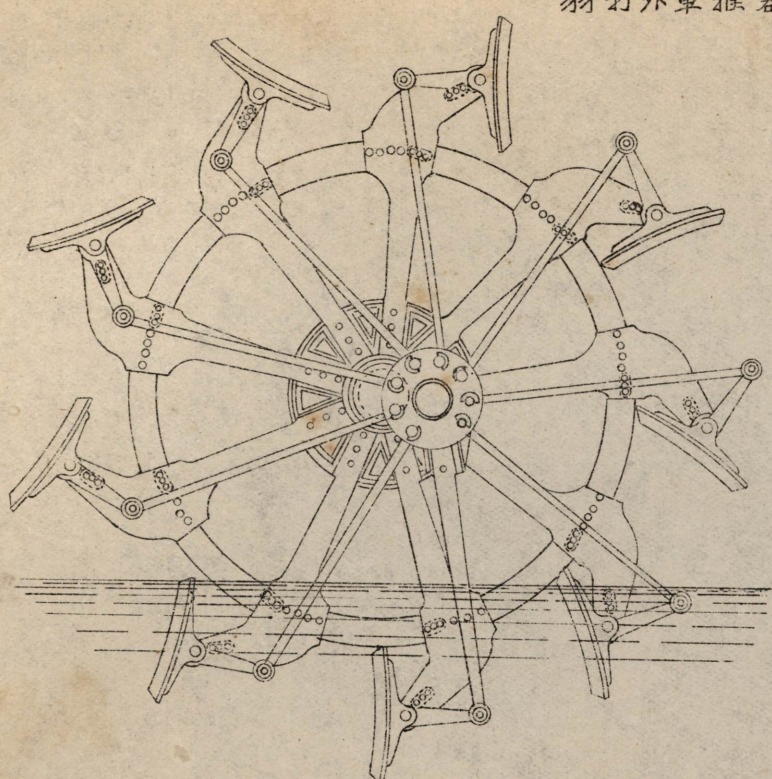
spool driving mechanism: 旋盤装置  
which consists of a frame and a spindle  
to hold a spool which is driven by a motor.  
It is used for spinning bamboo fiber.

spool driving mechanism: 旋盤装置  
which consists of a frame and a spindle  
to hold a spool which is driven by a motor.  
It is used for spinning bamboo fiber.

spool driving mechanism: 旋盤装置  
which consists of a frame and a spindle  
to hold a spool which is driven by a motor.  
It is used for spinning bamboo fiber.



第 2. 図  
羽打外車推器



## The design of screw propeller (for turbine ship)

The diameter pitch of the propeller is determined from the designed revolutions and speed of the ship by assuming the peripheral speed of the blade tips to be not greater than 1200 ft/min. and allowing an apparent slip of about 20%.

The pitch ratio i.e.  $\frac{\text{Pitch}}{\text{diameter}}$  varies

from 0.95 to 1.1 for cruiser (may be assumed as 1.0)

" 0.85 to 0.95 for B.S. ( " " 0.9 )

The blade area:—

In recent practice assuming a propulsive coefficient to be 0.5 to 0.55, the blade area have been designed to give the pressure per square inch of projected area of.

10 ~ 13 lbs	or average 12 lbs for B.S.
12 ~ 14 "	13 for small cruisers.
13½ ~ 14½ "	14 " large "

Now, if  $P$  = pressure (lbs/in<sup>2</sup>) of projected area.

$A_p$  = projected area of propeller in square ft.

$V$  = designed speed in knots.

then  $A_p$  is determined from —

$$\frac{P \times 144 \times A_p \times V \times 6080}{60} = 0.5 \times S.H.P \text{ of } \frac{f}{\text{ft}} \times 33,000$$

$$\therefore A_p = \frac{33,000}{6080} \times \frac{6.5}{144} \times \frac{S.H.P}{P.V.} = 326 \times \frac{6.5}{144} \times \frac{S.H.P}{P.V.}$$

The developed area:—

The developed area of the blade may therefore be obtained by assuming that the ratio.

$$\frac{\text{projected area}}{\text{developed area}} = 0.9$$

This ratio varying usually in the limits

0.8 to 0.92. with the constant tip speed,

without allowance the spiral is for steamship and as pleasure steamships and also allowing avoidance and  
resistance losses  $\therefore \text{S.H.P.} = \frac{0.95}{0.9} \times \text{W.L.P.}$  without allowance

without allowance  
allowance  
allowance  
allowance  
allowance

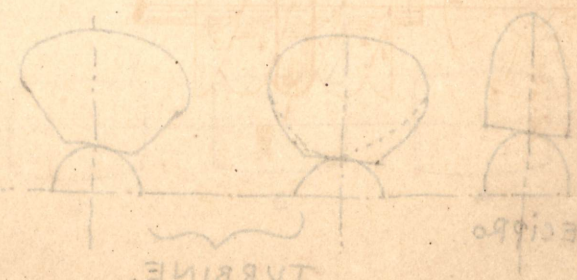
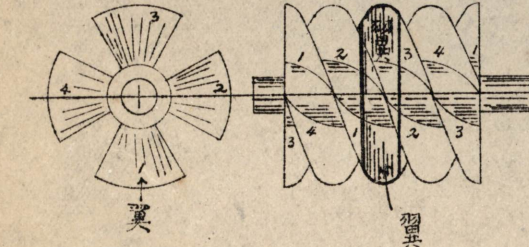
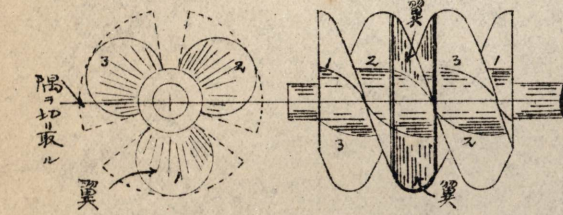
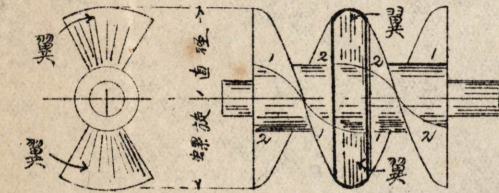
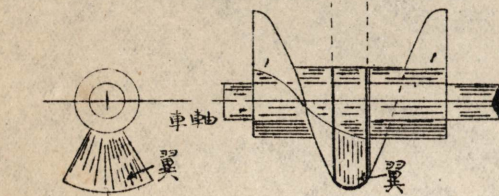
very necessary areas all blades at whenever  
and done in all for each category for sea ship.  
power allowances out all for each category all  
etc. allowances have areas with allowances all  
done all time except all for avoiding done away  
therefore

developed area except out all, power all the  
allowances without allowances done spiral all the  
way requires allowances allowances without all  
of all allowances are required engine power all  
of all allowances are required engine power all  
power all the allowances are required engine power all  
the allowances are required engine power all  
equally all allowances spiral all for each power  
allowances are required engine power all  
and so on allowances are required engine power all  
so at allowances are required engine power all  
allowances are required engine power all  
regards very necessary done all

第3圖

螺旋及翼

螺旋長寸



099134

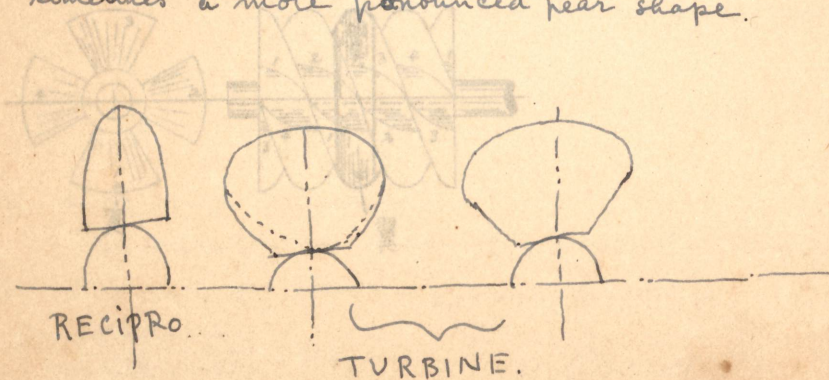
the diameter of a high and moderate revolution propeller will be approximately inversely as the revolutions

high revolution	650	as in T. B. D.
	500	" " small cruiser
moderate revolution	400	" " "
	275	" " large "
	290	" " "
	320	" " battleship
	300	" "

However, to obtain the same pressure per square inch of projected area of the in each case the projected area of the two propellers must be sensibly the same and consequently the forms and proportions of the blades will be widely different.

In the following, the two types will be referred to as the high and moderate revolution propellers.

The turbine propellers generally differ from the reciprocating engine propellers mainly for above reasons viz. the necessity of obtaining the necessary area with smaller diameters and consequence of the high revolutions the shape of the blade being also much fuller towards the tip, the shape usually approximately, to an ellipse with a transverse major axis, though sometimes a more pronounced pear shape.



—, differing width over diameter of blades required set to blades minimize lesser wet ("wet") surface, places pressure a greater behind & in fit it cool air passed over itself a ref. speed of twice line outside, few air passes over itself at ref. point & at 2.1 times as fast required set to itself for speed lesser — used for extreme self

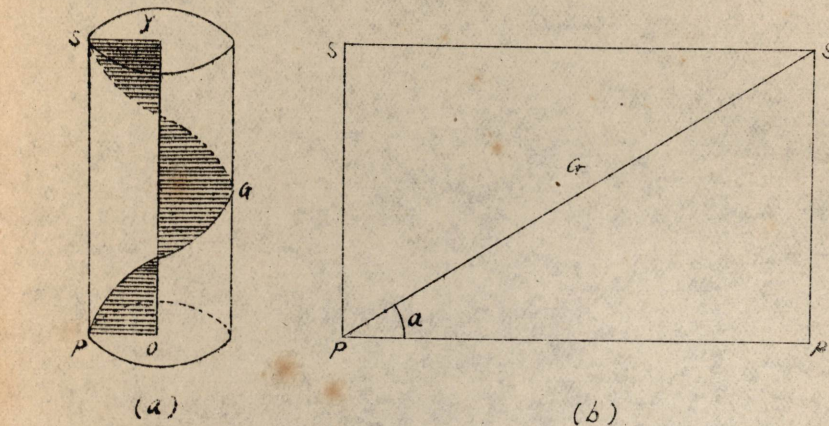
shaded plenum cool set to extremes self to greatest set speed set to extremes set to pressure reduce set to cool set to lesser areas to parallelogram "S" & "S" may "S" "P" "Q" "R"

—; set side to width cool self to greatest width set to plenum self to plenum set to lesser set to pressure set to self "S" & "S" given parallelogram reduced ref. plenum "S" & "S" have ref. with over itself set to plenum by width set with plenum width for greatest self ref. of 0.1 for turbines a given full set

$$\frac{q.u^2 \cdot g.w}{(h - c) \cdot t}$$

parallelogram width ref. width =  $m$  width added in total to blades =  $t$  added in total to greatest self =  $d$  width ref. width over =  $h$  if in width =  $g$  parallelogram very  $g.H.c = t$  keep in parallelogram for width =  $C$  keep in width if width =  $b$

第 4 図



第 5 図

